

Цена 20 коп.



ОСНОВНЫЕ ЕДИНИЦЫ СИ

Величина	Единица		
	Наименование	Обозначение	
		русское	международное
ДЛИНА	метр	м	m
МАССА	килограмм	кг	kg
ВРЕМЯ	секунда	с	s
СИЛА ЭЛЕКТРИЧЕСКОГО ТОКА	ампер	A	A
ТЕРМОДИНАМИЧЕСКАЯ			
ТЕМПЕРАТУРА	kelвин	K	K
КОЛИЧЕСТВО ВЕЩЕСТВА	моль	моль	mol
СИЛА СВЕТА	кандела	кд	cd
ДОПОЛНИТЕЛЬНЫЕ ЕДИНИЦЫ СИ			
Плоский угол	радиан	рад	rad
Телесный угол	стерадиан	ср	sr

ПРОИЗВОДНЫЕ ЕДИНИЦЫ СИ, ИМЕЮЩИЕ СОСТВЕННЫЕ НАИМЕНОВАНИЯ

Величина	Единица		Выражение производной единицы	
	наименование	обозначение	через другие единицы СИ	через основные единицы СИ
Частота	герц	Гц	—	$\text{с}^{-1}$
Сила	ньютон	Н	—	$\text{м}\cdot\text{кг}\cdot\text{с}^{-2}$
Давление	паскаль	Па	$\text{Н}/\text{м}^2$	$\text{м}^{-1}\cdot\text{кг}\cdot\text{с}^{-2}$
Энергия, работа, количество теплоты	джоуль	Дж	$\text{Н}\cdot\text{м}$	$\text{м}^2\cdot\text{кг}\cdot\text{с}^{-2}$
Мощность, поток энергии	ватт	Вт	$\text{Дж}/\text{с}$	$\text{м}^2\cdot\text{кг}\cdot\text{с}^{-3}$
Количество электричества, электрический заряд	кулон	Кл	$\text{А}\cdot\text{с}$	$\text{с}\cdot\text{А}$
Электрическое напряжение, электрический потенциал	вольт	В	$\text{Вт}/\text{А}$	$\text{м}^2\cdot\text{кг}\cdot\text{с}^{-3}\cdot\text{А}^{-1}$
Электрическая емкость	фарад	Ф	$\text{Кл}/\text{В}$	$\text{м}^{-2}\cdot\text{кг}^{-1}\cdot\text{с}^4\cdot\text{А}^2$
Электрическое сопротивление	ом	Ом	$\text{В}/\text{А}$	$\text{м}^2\cdot\text{кг}\cdot\text{с}^{-3}\cdot\text{А}^{-2}$
Электрическая проводимость	сименс	См	$\text{А}/\text{В}$	$\text{м}^{-2}\cdot\text{кг}^{-1}\cdot\text{с}^3\cdot\text{А}^2$
Поток магнитной индукции	вебер	Вб	$\text{В}\cdot\text{с}$	$\text{м}^2\cdot\text{кг}\cdot\text{с}^{-2}\cdot\text{А}^{-1}$
Магнитная индукция	tesла	Тл	$\text{Вб}/\text{м}^2$	$\text{кг}\cdot\text{с}^{-2}\cdot\text{А}^{-1}$
Индуктивность	герци	Гн	$\text{Вб}/\text{А}$	$\text{м}^2\cdot\text{кг}\cdot\text{с}^{-2}\cdot\text{А}^{-2}$
Световой поток	люмен	lm	—	$\text{кд}\cdot\text{ср}$
Освещенность	люкс	lx	—	$\text{м}^{-2}\cdot\text{кд}\cdot\text{ср}$
Активность нуклида	беккерель	Бк	—	$\text{с}^{-1}$
Доза излучения	грей	Гр	—	$\text{м}^2\cdot\text{с}^{-2}$

\* В эти два выражения входят, наравне с основными единицами СИ, дополнительная единица — стерадиан.

ГОСУДАРСТВЕННЫЙ СТАНДАРТ  
СОЮЗА ССР

СТЕКЛО ОПТИЧЕСКОЕ ЦВЕТНОЕ

ТЕХНИЧЕСКИЕ УСЛОВИЯ

ГОСТ 9411-81

Издание официальное

E

ГОСУДАРСТВЕННЫЙ КОМИТЕТ СССР ПО СТАНДАРТАМ

Москва

Цена 20 коп.

## СТЕКЛО ОПТИЧЕСКОЕ ЦВЕТНОЕ

Технические условия

Colouroptical glass.  
Specifications

ОКП 43 2182

ГОСТ  
9411-81Взамен  
ГОСТ 9411-75,  
кроме п. 1.6

Постановлением Государственного комитета СССР по стандартам от 27 марта 1981 г. № 1629 срок действия установлен

с 01.01 1982 г.

до 01.01 1987 г.

Несоблюдение стандарта преследуется по закону

Настоящий стандарт распространяется на оптическое цветное неорганическое стекло, предназначенное для изготовления фильтров, выпускаемое в заготовках размером (диаметром или с наибольшей стороной) не более 250 мм, а нормируемое по  $\lambda_{\text{пр}}$  — в заготовках размером не более 360 мм.

## 1. ТИПЫ, МАРКИ, ОСНОВНЫЕ ПАРАМЕТРЫ

1.1. Оптическое цветное стекло следует изготавливать типов и марок, указанных в табл. 1.

Таблица 1

Обозначение типа и цвета стекла	Марка стекла
УФС — ультрафиолетовое стекло	УФС1*, УФС2, (УФС5), УФС6*, УФС8
ФС — фиолетовое стекло	(ФС1), ФС6*
СС — синее стекло	СС1, СС2*, СС4*, СС5, СС8, (СС9), СС15
СЗС — сине-зеленое стекло	(СЗС5), СЗС7*, СЗС8, СЗС9, (СЗС15), СЗС16, СЗС17, СЗС20, СЗС21, СЗС22*, СЗС23, СЗС24*, СЗС25, СЗС26, СЗС27

Издание официальное

E

Перепечатка воспрещена

Продолжение табл. 1

Обозначение типа и цвета стекла	Марка стекла	
ЗС — зеленое стекло	(ЗС1), ЗС3, ЗС7, ЗС8, ЗС10, ЗС11*	
ЖЗС — желто-зеленое стекло	ЖЗС1, (ЖЗС5), ЖЗС6*, ЖЗС9, ЖЗС12*, ЖЗС17*, ЖЗС18	
ЖС — желтое стекло	ЖС3, ЖС4, ЖС10, ЖС11, ЖС12* ЖС16, ЖС17, ЖС18, ЖС19, ЖС20	
ОС — оранжевое стекло	ОС5*, (ОС6), ОС11, ОС12, ОС13*, ОС14, ОС17*	
КС — красное стекло	КС10, КС11*, КС13, КС14, КС15*, КС17, КС18*, КС19	
ИКС — инфракрасное стекло	(ИКС1), (ИКС3), ИКС5, ИКС6*, ИКС7	
ПС — пурпурное стекло	ПС5, ПС7, ПС8, (ПС11), ПС13, ПС14	
НС — нейтральное стекло	НС1*, НС2*, НС3, НС6, НС7, НС8*, НС9, НС10*, НС11, НС12, (НС13)	
ТС — темное стекло	ТС3, (ТС6), ТС10*	
БС — бесцветное стекло	ультра-фиолетовое	БС3, БС4, БС7, (БС8), БС12
	инфракрасное	БС14

## Примечания:

- Стекла марок, которые помечены звездочкой, являются предпочтительными.
- Стекла марок, которые заключены в скобки, применять в новых разработках не допускается.

1.2. Оптическое цветное стекло нормируют по следующим параметрам:

показателю поглощения  $a(\lambda)$  слоя стекла толщиной 1 мм при длинах волн, заданных для стекла каждой марки (стекла, окрашенные молекулярными красителями, по табл. 2);

показателю поглощения  $a(\lambda_0)$ , длине волны  $\lambda_{\text{пр}}$  и крутизне кривой оптической плотности  $K_p$  слоя стекла, толщиной, равной толщине светофильтра (стекла, окрашенные сульфоселенидами или сульфидами металлов, по табл. 3);

показателю поглощения  $a_{\text{ср}}$ , среднему отклонению  $O_{\text{ср}}$  и наибольшему отклонению  $O_{\text{max}}$  слоя толщиной 1 мм (стекла марок НС1—НС12 по табл. 4);

Таблица 2

Марка стекла	Длина волны $\lambda$ , нм	Пределные значения $a(\lambda)$ , мм <sup>-1</sup> , по категориям		Отношение показателей поглощения $a(\lambda)$
		1	2	
УФС1	254	Не более 0,15	Не более 0,20	$a_{405}$
	334	» 0,005	» 0,007	$a_{254}$
	405	Не менее 0,30	Не менее 0,25	не менее 2;
	700	» 0,100	» 0,075	$a_{700}$ $a_{254}$ не менее 0,5
УФС2	280	Не более 0,21	Не более 0,26	$a_{405}$
	313	» 0,05	» 0,05	$a_{280}$
	405	Не менее 2,50	Не менее 1,75	не менее 8,5;
	700	» 0,56	» 0,46	$a_{700}$ $a_{280}$ не менее 2,3
УФС5	254	Не более 0,15	Не более 0,20	$a_{405}$
	313	» 0,007	» 0,010	$a_{254}$
	405	Не менее 0,58	Не менее 0,52	не менее 5 — по 1-й категории;
	436	» 1,7	» 1,5	не менее 3 — по 2-й категории
	546	» 1,35	» 1,25	
	700	» 0,100	» 0,008	
УФС6	313	Не более 0,27	Не более 0,44	$a_{405}$
	365	» 0,05	» 0,06	$a_{365}$
	405	Не менее 1,26	Не менее 1,05	не менее 25
	700	» 0,81	» 0,67	
УФС8	300	Не более 1,10	Не более 1,20	$a_{405}$
	365	» 0,125	» 0,150	$a_{365}$
	405	Не менее 0,95	Не менее 0,80	не менее 8
	546	» 2,70	» 2,40	
	700	0,80—1,20	0,70—1,55	
ФС1	400	Не более 0,06	Не более 0,06	$a_{480}$
	480	0,67—0,83	0,56—0,94	$a_{400}$
	700	0,76—1,16	0,67—1,25	не менее 11; $a_{700}$ $a_{400}$ не менее 13
ФС6	300	Не более 0,23	Не более 0,25	$a_{480}$
	360	» 0,032	» 0,036	$a_{360}$
	480	0,80—1,05	0,70—1,15	не менее 25;
	710	0,60—0,93	0,50—1,10	$a_{710}$
	800	Не более 0,03	Не более 0,03	$a_{800}$ не менее 30

Продолжение табл. 2

Марка стекла	Длина волны $\lambda$ , нм	Пределные значения $a(\lambda)$ , мм <sup>-1</sup> , по категориям		Отношение показателей поглощения $a(\lambda)$
		1	2	
CC1	420	Не более 0,02	Не более 0,02	$a_{700}$
	540	0,14—0,16	0,13—0,17	$a_{540}$
	640	0,28—0,32	0,26—0,34	от 0,9 до 1,5
	700	0,17—0,19	0,15—0,21	
CC2	400	Не более 0,020		—
	540	0,20—0,31		
	600	0,32—0,48		
CC4	450	Не более 0,16	Не более 0,18	$a_{640}$
	540	1,37—1,68	1,22—1,83	$a_{450}$
	680	0,80—1,20	0,70—1,30	не менее 7,5
CC5	420	Не более 0,060	Не более 0,065	$a_{540}$
	540	1,06—1,30	0,94—1,42	$a_{420}$
	700	0,42—0,54	0,33—0,63	не менее 16;
				$a_{700}$
CC8	420	Не более 0,10		$a_{420}$
	540	0,62—0,94		не менее 7
	700	0,83—1,25		
				—
CC9	400	Не более 0,020	Не более 0,020	$a_{640}$
	450	0,050—0,062	0,044—0,068	$a_{450}$
	560	0,084—0,104	0,075—0,113	от 2,1 до 3,5;
	640	0,135—0,165	0,120—0,180	$a_{700}$
	700	0,054—0,066	0,048—0,090	$a_{450}$
				от 0,8 до 1,4
CC15	420	Не более 0,06	Не более 0,07	$a_{540}$
	540	1,80—2,20	1,60—2,40	$a_{420}$
	700	0,90—1,10	0,80—1,20	не менее 30;
				$a_{700}$
C3C5	450	Не более 0,04	Не более 0,04	$a_{1000}$
	700	0,26—0,30	0,23—0,32	$a_{450}$
	1000	Не менее 0,69	Не менее 0,62	не менее 18
C3C7	400	Не более 0,03	Не более 0,03	$a_{700}$
	480	» 0,02	» 0,02	$a_{480}$
	700	0,50—0,57	0,45—0,61	не менее 40

Продолжение табл. 2

Марка стекла	Длина волны $\lambda$ , нм	Пределные значения $a(\lambda)$ , мм <sup>-1</sup> , по категориям		Отношение показателей поглощения $a(\lambda)$
		1	2	
C3C8	400	Не более 0,08	Не более 0,08	$a_{700}$
	480	» 0,04	» 0,04	$a_{480}$
	700	1,16—1,31	1,05—1,42	не менее 35
C3C9	400	Не более 0,31	Не более 0,33	$a_{640}$
	480	» 0,120	» 0,125	$a_{480}$
	640	1,50—1,76	1,37—1,89	не менее 12
C3C15	400	Не более 0,006	Не более 0,008	$a_{800}$
	500	» 0,007	» 0,009	$a_{400}$
	650	0,055—0,070	0,050—0,075	не менее 30
	800	0,16—0,20	0,14—0,22	
C3C16	450	Не более 0,055	Не более 0,060	$a_{1000}$
	700	0,19—0,23	0,16—0,26	$a_{450}$
	1000	Не менее 0,56	Не менее 0,48	не менее 10
C3C17	420	0,002—0,008	0,002—0,008	$a_{700}$
	540	0,015—0,025	0,010—0,030	$a_{540}$
	700	0,140—0,230	0,095—0,280	от 8 до 11
C3C20	400	Не более 0,10	Не более 0,10	$a_{620}$
	560	» 0,486	» 0,525	$a_{560}$
	620	1,24—1,68	1,09—1,83	не менее 2,3
	700	Не менее 1,00	Не менее 0,80	
C3C21	360	Не более 0,05	Не более 0,10	$a_{680}$
	500	» 0,007	» 0,015	$a_{500}$
	680	0,91—1,22	0,81—1,32	не менее 100
C3C22	400	Не более 0,03	Не более 0,05	$a_{600}$
	460	» 0,009	» 0,012	$a_{460}$
	600	0,60—0,80	0,56—0,87	не менее 50
C3C23	360	Не более 0,020	Не более 0,023	$a_{700}$
	500	» 0,005	» 0,005	$a_{500}$
	700	0,42—0,52	0,37—0,57	не менее 100
C3C24	450	Не более 0,020	Не более 0,030	$a_{1000}$
	560	» 0,020	» 0,030	$a_{450}$
	700	0,085—0,105	0,075—0,115	не менее 40
	1000	Не менее 0,67	Не менее 0,60	
C3C25	450	Не более 0,025	Не более 0,030	$a_{1000}$
	560	» 0,025	» 0,030	$a_{450}$
	700	0,15—0,19	0,13—0,21	не менее 40
	1000	Не менее 1,28	Не менее 1,14	

Продолжение табл. 2

Марка стекла	Длина волны $\lambda$ , нм	Пределные значения $a(\lambda)$ , мм <sup>-1</sup> , по категориям		Отношение показателей поглощения $a(\lambda)$
		1	2	
С3С26	450	Не более 0,025	Не более 0,030	$a_{1000}$ $a_{450}$ не менее 35
	560	» 0,020	» 0,030	
	700	0,037—0,049	0,032—0,054	
	1000	Не менее 0,80	Не менее 0,70	
С3С27	450	Не более 0,020	Не более 0,030	$a_{1000}$ $a_{450}$ не менее 50
	560	» 0,020	» 0,030	
	700	0,077—0,095	0,070—0,105	
	1000	Не менее 0,76	Не менее 0,67	
3С1	430	1,33—1,63	1,18—1,78	$a_{430}$ $a_{530}$ не менее 8; $a_{650}$ не менее 5
	530	Не более 0,16	Не более 0,17	
	650	0,77—0,95	0,73—0,99	
3С3	450	0,25—0,39		—
	520	Не более 0,18		
	650	0,86—1,30		
3С7	578	Не более 0,07	Не более 0,08	$a_{630}$ $a_{578}$ не менее 12,5 — по 1-й категории; не менее 11,0 — по 2-й категории
	630	0,93—1,15	0,83—1,25	
3С8	460	0,13—0,17	0,11—0,19	$a_{660}$ $a_{460}$ от 1,2 до 2,1
	560	Не более 0,030	Не более 0,032	
	660	0,22—0,28	0,20—0,30	
3С10	450	1,08—1,32	0,96—1,54	$a_{450}$ $a_{550}$ не менее 6,5; $a_{650}$ не менее 5,0
	550	Не более 0,15	Не более 0,17	
	650	0,76—0,94	0,68—1,02	
3С11	430	1,31—1,61	1,16—1,76	$a_{430}$ $a_{530}$ не менее 7,0; $a_{650}$ не менее 5,5
	530	Не более 0,17	Не более 0,18	
	650	1,01—1,23	0,90—1,34	

Продолжение табл. 2

Марка стекла	Длина волны $\lambda$ , нм	Пределные значения $a(\lambda)$ , мм <sup>-1</sup> , по категориям		Отношение показателей поглощения $a(\lambda)$
		1	2	
ЖЗС1	480	0,45—1,05		$a_{480}$
	545	0,13—0,21		$a_{545}$
	620	0,37—1,03		от 3,0 до 5,0; $a_{620}$
				$a_{545}$ от 2,5 до 4,5
ЖЗС5	400	0,96—1,18	0,75—1,40	$a_{400}$
	550	Не более 0,02	Не более 0,04	$a_{650}$
	650	0,054—0,066	0,048—0,072	от 13 до 24
ЖЗС6	420	1,09—1,33	0,97—1,45	$a_{420}$
	550	Не более 0,05	Не более 0,05	$a_{650}$
	660	0,10—0,12	0,09—0,13	от 8 до 15
ЖЗС9	420	1,44—1,76	1,20—2,00	$a_{420}$
	540	Не более 0,07	Не более 0,08	$a_{540}$
	680	0,29—0,35	0,27—0,37	от 16 до 37; $a_{680}$
				$a_{540}$ от 4 до 7
ЖЗС12	480	0,82—1,87		$a_{480}$
	540	0,48—0,72		$a_{540}$
	620	0,86—2,00		от 1,7 до 2,6; $a_{620}$
				$a_{540}$ от 1,8 до 2,8
ЖЗС17	480	1,46—3,36		$a_{480}$
	540	1,12—1,68		$a_{540}$
	620	1,34—3,20		от 1,3 до 2,0; $a_{620}$
				$a_{540}$ от 1,2 до 1,9
ЖЗС18	460	0,41—0,47	0,37—0,51	$a_{460}$
	560	Не более 0,019	Не более 0,021	$a_{660}$
	660	0,185—0,215	0,17—0,23	не менее 1,8
ЖС3	313	Не более 0,29	Не более 0,38	$a_{365}$
	365	0,9—2,7	0,9—2,7	$a_{313}$
				не менее 6
ЖС4	370	1,00—1,24	0,85—1,40	$a_{370}$
	450	Не более 0,030	Не более 0,035	$a_{480}$
				не менее 40

Продолжение табл. 2

Марка стекла	Длина волны $\lambda$ , нм	Пределные значения $a(\lambda)$ , $\text{мм}^{-1}$ , по категориям		Отношение показателей поглощения $a(\lambda)$
		1	2	
ЖС19	350	Не более 0,26 0,19—0,23	Не более 0,35 0,16—0,26	—
	410	Не более 0,003	Не более 0,005	
	650			
ЖС20	300	Не более 0,13	Не более 0,16	$a_{360}$ $a_{300}$ не менее 5 — по 1-й категории; не менее 4 — по 2-й категории
	360	Не менее 0,52	Не менее 0,46	
	560	Не более 0,020	Не более 0,025	
ОС5	420	1,00—1,35	0,80—1,50	—
	580	0,12—0,18	0,10—0,20	
	700	Не более 0,08	Не более 0,09	
ОС6	420	0,25—0,34	0,21—0,39	—
	500	0,09—0,13	0,08—0,14	
	700	Не более 0,05	Не более 0,05	
ИКС1	400	Не менее 0,81	Не менее 0,72	$a_{700}$ $a_{1100}$ не менее 45
	700	» 1,22	» 1,09	
	800	0,49—0,61	0,42—0,70	
	1100	Не более 0,03	Не более 0,03	
ИКС3	400	Не менее 3	Не менее 3	$a_{800}$ $a_{1100}$ не менее 14
	800	» 1,43	» 1,27	
	900	0,43—0,53	0,36—0,60	
	1100	Не более 0,10	Не более 0,10	
ИКС5	400	Не менее 0,76	Не менее 0,68	$a_{700}$ $a_{1100}$ не менее 80
	700	» 1,84	» 1,64	
	800	0,67—0,83	0,60—0,90	
	1100	Не более 0,020	Не более 0,023	
ИКС6	400	Не менее 3	Не менее 3	$a_{800}$ $a_{1100}$ не менее 30
	800	» 1,44	» 1,28	
	900	0,40—0,48	0,35—0,53	
	1100	Не более 0,045	Не более 0,050	
ИКС7	400	Не менее 3	Не менее 3	$a_{800}$ $a_{1100}$ не менее 30
	800	» 2,25	» 2,0	
	900	0,59—0,72	0,53—0,79	
	1100	Не более 0,060	Не более 0,070	
ПС5	420	0,018—0,036	$a_{510}$ $a_{420}$ от 2,3 до 2,8; $a_{510}$ от 1,25 до 1,35	
	510	0,045—0,090		
	570	0,035—0,070		
	680	Не более 0,030		

Продолжение табл. 2

Марка стекла	Длина волны $\lambda$ , нм	Пределные значения $a(\lambda)$ , $\text{мм}^{-1}$ , по категориям		Отношение показателей поглощения $a(\lambda)$
		1	2	
ПС7	546	Не более 0,015	Не более 0,020	$\frac{a_{578}}{a_{546}}$ не менее 30
	578	0,43—0,55	0,37—0,61	
ПС8	440	0,50—0,80	0,40—1,00	$\frac{a_{\lambda_m}}{a_{650}}$
	530	1,20—1,80 (при $\lambda_m$ от 520 до 550 нм)	1,00—2,00 (при $\lambda_m$ от 520 до 550 нм)	
	650	0,05—0,13	Не более 0,18	не менее 9; $\frac{a_{\lambda_m}}{a_{440}}$ не менее 1,9
ПС11	254	Не более 0,15	Не более 0,25	$\frac{a_{580}}{a_{400}}$
	400	» 0,015	» 0,020	
	580	1,29—1,59	1,15—1,73	
	700	0,025—0,050	0,025—0,050	не менее 70
ПС13	405	Не более 0,17	Не более 0,20	$\frac{a_{436}}{a_{405}}$
	436	Не менее 0,60	Не менее 0,55	не менее 4,5
ПС14	400	Не более 0,01	Не более 0,01	$\frac{a_{570}}{a_{400}}$
	570	0,050—0,085	0,035—0,105	
	670	0,015—0,025	0,010—0,030	не менее 6,2; $\frac{a_{570}}{a_{670}}$ от 2,5 до 5,7
HC13	600	0,68—1,02	$\frac{a_{600}}{a_{700}}$ от 1,05 до 1,30	
	640	0,64—0,96		
	700	0,58—0,88		
TC3	320	Не менее 3,0	Не менее 3,0	$\frac{a_{450}}{a_{570}}$
	450	2,36—3,16	1,93—3,59	
	570	1,66—2,26	1,37—2,55	
	660	2,11—2,86	1,74—3,23	
	1000	Не менее 1,14	Не менее 1,00	$\frac{a_{660}}{a_{570}}$ от 1,0 до 1,6
TC6	340	Не менее 0,45	Не менее 0,45	$\frac{a_{450}}{a_{660}}$
	450	0,32—0,43	0,26—0,49	
	570	0,17—0,24	0,14—0,27	
	660	0,13—0,19	0,11—0,21	
	1000	Не менее 0,15	Не менее 0,13	от 1,8 до 2,9

Продолжение табл. 2

Марка стекла	Длина волны $\lambda$ , нм	Пределные значения $a(\lambda)$ , $\text{мм}^{-1}$ , по категориям		Отношение показателей поглощения $a(\lambda)$
		1	2	
TC10	340	Не менее 0,70		$a_{450}$
	450	0,53—0,80		$a_{660}$
	570	0,260—0,390		от 2,5 до 3,1
	660	0,200—0,300		
	1000	Не менее 0,200		
BC3	254	Не менее 0,74	Не менее 0,57	$a_{254}$
	303	Не более 0,08	Не более 0,12	$a_{303}$ не менее 8
BC4	280	Не менее 0,82	Не менее 0,67	$a_{280}$
	313	Не более 0,09	Не более 0,10	$a_{313}$ не менее 9
BC7	334	Не менее 1,25	Не менее 1,00	$a_{334}$
	365	Не более 0,10	Не более 0,11	$a_{365}$ не менее 11
BC8	365	Не менее 0,30	Не менее 0,26	$a_{365}$
	405	Не более 0,02	Не более 0,03	$a_{405}$ не менее 10
BC12	254	Не более 0,36	Не более 0,50	—
BC14	400	Не более 0,01	Не более 0,01	—
	2000	» 0,005	» 0,005	—
	2950	» 0,24	» 0,28	—
	(при $\lambda_m$ от 2850 до 3050 нм)	(при $\lambda_m$ от 2850 до 3050 нм)		—
	4000	Не более 0,035	Не более 0,042	—
	5600	» 0,66	» 0,75	—

При мечание. При одинаковых значениях  $a(\lambda)$ , установленных для 1 и 2 категорий, категорию обозначают как 1.

двулучепреломлению;

бессыльности;

пузырьности,

где  $a(\lambda_0)$  — показатель поглощения в области наименьшего поглощения;

$\lambda_{np}$  — длина волны, при которой оптическая плотность стекла превышает на 0,3 оптическую плотность стекла той же толщины при длине волны  $\lambda_0$ ;

$K_p$  — крутизна кривой оптической плотности стекла, вычисляемая как разность оптических плотностей стекла при длинах волны  $\lambda_{np}$  — 20 нм и  $\lambda_{np}$ .

$a_{cp}$  — среднее арифметическое абсолютных значений показателя поглощения  $a(\lambda)$ , измеренного через каждые 20 нм в области спектра 440—660 нм для стекла марок НС1—НС3 и в области спектра 400—700 нм для стекла марок НС6—НС12;

$O_{cp}$  — среднее арифметическое абсолютных значений отклонения показателя поглощения  $a(\lambda)$  от измеренного значения  $a_{cp}$ , выраженное в процентах от  $a_{cp}$ ;

$O_{max}$  — наибольшее из абсолютных значений отклонения  $a(\lambda)$  от среднего отклонения  $a_{cp}$ , выраженное в процентах.

1.3. По показателю поглощения  $a(\lambda)$  оптическое цветное стекло должно соответствовать категориям, указанным в табл. 2.

1.4. По длине волны  $\lambda_{np}$  оптическое цветное стекло должно соответствовать категориям, указанным в табл. 3.

Таблица 3

Марка стекла	Длина волны $\lambda_{np}$ , нм	Пред. отклонения по категориям			Показатель поглощения $a(\lambda_0)$ , $\text{мм}^{-1}$ , не более	Крутизна кривой $K_p$ , не менее						
		Номин.	1	2	3	для фильтра толщиной, мм	2	3	5	10	20	
ЖС10	390	±5				560	0,002	1,2	1,2	1,2		
ЖС11	420	—				560		0,6	0,4			
ЖС12	450	—	±10	±15		560		0,4			—	—
ЖС16	470	—				560	0,005	0,8	0,8			
ЖС17	490	±5				580		1,0				
ЖС18	510	—				600		1,2	1,0	0,8	0,8	
OC11	535	—				650						
OC12	550	±5	±10	±15		650	0,007	1,2	1,2	1,2	1,2	
OC13	565	—				650						
OC14	580	—				680						
OC17	540	±5	±10	±15		650	0,007	От 0,2 до 0,6 при толщине 1, 2, 5 и 10 мм				
KC10	600	—				680						
KC11	610	—				680	0,007	1,2	1,2	1,2	1,2	
KC13	630	—	±5			700						
KC14	640	—				720						
KC15	650	—	±10	±15		720	0,010	1,0	1,0	1,0		
KC17	670	—				750					—	—
KC18	685	—				800	0,020	0,8	0,8	0,8		
KC19	700	—				800	0,030					

1.5. По показателю поглощения  $a_{\text{ср}}$ , среднему отклонению  $O_{\text{ср}}$  и наибольшему отклонению  $O_{\text{max}}$  оптическое цветное стекло должно соответствовать категориям, указанным в табл. 4.

Таблица 4

Марка стекла	Показатель поглощения $a_{\text{ср}}^{-1}$ , мм <sup>-1</sup>		Среднее отклонение $O_{\text{ср}} \%$ , не более		Наибольшее отклонение $O_{\text{макс}} \%$ , не более		
	Номин.	Пред. откл. по категориям		По категориям			
		1	2	1	2	1	2
HC1	0,07	$\pm 0,01$	$\pm 0,02$			20,00	25,00
HC2	0,24	$\pm 0,03$	$\pm 0,05$	10,00	15,00		
HC3	0,47	$\pm 0,05$	$\pm 0,10$			25,00	30,00
HC6	0,06	$\pm 0,01$	$\pm 0,02$			30,00	35,00
HC7	0,12	$\pm 0,02$	$\pm 0,04$	7,00	10,00	17,00	28,00
HC8	0,27	$\pm 0,03$	$\pm 0,06$			10,00	15,00
HC9	0,55	$\pm 0,06$	$\pm 0,11$			15,00	20,00
HC10	0,90	$+0,10$ $-0,09$	$+0,20$ $-0,18$	5,00	10,00	20,00	25,00
HC11	1,80	$\pm 0,18$	$\pm 0,36$				
HC12	3,30	$\pm 0,35$	$\pm 0,66$	10,00	15,00	30,00	35,00

1.6. Оптическое цветное стекло по двулучепреломлению, пузырьности и бессвильности (категории 1—4) разделяют на категории по ГОСТ 23136—78.

Пример условного обозначения оптического цветного ультрафиолетового стекла марки УФС1:

УФС1 ГОСТ 9411-81

1.7. Физико-химические характеристики оптических цветных стекол приведены в справочном приложении.

## **2. ТЕХНИЧЕСКИЕ ТРЕБОВАНИЯ**

2.1. Оптическое цветное стекло следует изготавливать в соответствии с требованиями настоящего стандарта по технологии, утвержденной в установленном порядке, по показателю поглощения

$a(\lambda)$  или  $\lambda_{\text{пр}}$ , двулучепреломлению, бессвильности и пузырности категорий, указанных в табл. 5 и 7: Вторая цифра в каждой строке соответствует категории стекла, изготовленного партиями преимущественно любых объемов по ГОСТ 13240—78.

Категория по  $\lambda_{\text{пр}}$  относится к рабочей толщине фильтра и выбирается потребителем из табл. 2.

Таблица 5

Марка стекла	Категория по показателю поглощения $a(\lambda)$ или $\lambda_{\text{пр}}$		Марка стекла	Категория по показателю поглощения $a(\lambda)$ или $\lambda_{\text{пр}}$		Марка стекла	Категория по показателю поглощения $a(\lambda)$ или $\lambda_{\text{пр}}$	
	бесцветности	бесцветности		бесцветности	бесцветности		бесцветности	бесцветности
УФС1	2		C3C3	2	2-4	ЖЗС5	2	2-4
УФС2	1-2		C3C9			ЖЗС6		
УФС5	2		C3C15			ЖЗС9		
УФС6	1-2		C3C16					
УФС8	2	4	C3C17	1-2	1-4	ЖЗС12	1-2	3-4
			C3C20		2-4			
ФС1								
ФС6								
CC1	1-2	2-4	C3C21		3-4	ЖЗС17		4
CC2			C3C22			ЖЗС18	2	3-4
CC4		3-4	C3C23					
CC5			C3C24					
CC8		при толщине до 5 мм;	C3C25		4	ЖС3	1-2	
		4 — св.	C3C26			ЖС4		
		5 мм	C3C27			ЖС10		
						ЖС11	3	
CC9		3C1			3-4	ЖС12		2-4
		2-4				ЖС16		
CC15		3C3		1-2		ЖС17	2-3	
		3-4 до 5 мм;				ЖС18		
		4 — св.	3C7		4			
		5 мм						
C3C5		3C8			3-4	ЖС19		
C3C7	2	2-4	3C10					
		3C11		2	3-4	ЖС20	2	3
						OC5		2-4
		ЖЗС1		1-2	2-4	OC6		3-4

Продолжение табл. 5

Марка стекла	Категория по показателю поглощения $a(\lambda)$ или $\lambda_{\text{пр}}$		Марка стекла	Категория по показателю поглощения $a(\lambda)$ или $\lambda_{\text{пр}}$		Марка стекла	Категория по показателю поглощения $a(\lambda)$ или $\lambda_{\text{пр}}$	
	бессыльности	бессыльности		бессыльности	бессыльности		бессыльности	бессыльности
OCJ1			ПС11	2	4	TC10	3—4	
OCJ2			ПС13			БС3		
OCJ3			ПС14	1—4		БС4		
OCJ4			HC1	1—2		БС7		
OCJ7	1—3	2—4	HC2	2—4		БС8		
KC10			HC3	3—4		БС12		
KC11						БС14	4	
KC13								
KC14								
KC15		2—4	HC6		2—4			
KC17	2—3		HC7	2				
KC18		3—4	HC8					
KC19	3		HC9	1—2	3—4			
			HC10		до 5 мм; 4 св. 5 мм			
ИКС1	2							
ИКС3								
ИКС5	1—2							
ИКС6	2							
ИКС7		4						
ПС5	1—2	2—4	HC11	2	4			
			HC12	2	4			
ПС7		2—4	HC13	1—2	2—3 до 5 мм; 3 св. 5 мм			
ПС8	2	4						
			TC3	2	4			
			TC6	1—2	3			

2.2. Для заготовок стекла марки ЖС20, входящих в одну партию, допускается отклонение значений  $a_{300\text{nm}}$  в пределах  $\pm 10\%$ , значений  $a_{360\text{nm}}$  в пределах  $\pm 5\%$ .

2.3. Неоднородность окраски стекол, окрашенных сульфоселенидами или сульфидами металлов, характеризуемая наибольшей разностью значений  $\Delta\lambda_{\text{пр}}$  в пределах одной заготовки, не должна превышать значений, указанных в табл. 6.

2.4. Показатель рассеяния стекол, окрашенных сульфоселенидами или сульфидами металлов, не должен превышать показатель рассеяния контрольного образца.

Таблица 6

Диаметр или наибольшая сторона заготовки, мм	Разность длин волн $\Delta\lambda_{\text{пр}}$ , нм, не более
До 40	2
Св. 40 до 90	3
» 90 » 180	5
» 180 » 360	10

2.5. Двулучепреломление заготовок оптических цветных стекол — 3—5-й категорий.

2.6. Категории пузырности заготовок стекла в зависимости от их массы приведены в табл. 7.

Таблица 7

Марка стекла	Категория пузырности						
	2—10	3—10	4—10	5—10	6—10	7—10	8—10
при массе заготовки, г, не более							
GC1, CC2, ЗС3 ЖЗС1, ЖЗС5, ЖЗС6, ЖЗС9, ЖС10, ЖС11, ЖС12, ЖС16, ЖС17, ЖС18, ОС11, ОС12, ОС13, ОС14, ОС17, KC10, KC11, KC13, KC14, KC15, HC1, HC2, HC6, HC7 БС3, БС7, БС8, БС12	30	50	100				
CC9, C3C7, C3C8, C3C17, C3C24, C3C25, C3C27, ЗС11, ЖС4, ЖС19, БС4	10			300	500	1000	3000
C3C9, C3C20, C3C21, C3C22, C3C23, ЗС1, ЗС10, ОС5, ОС6, ПС5, ПС7, ПС14, TC6, HC3, HC8	—						
C3C5, C3C15, C3C16, C3C26, ЗС7, ЗС8, ЖЗС18, ЖС3, ЖС20	5	10	30	100	300		

Продолжение табл. 7

Марка стекла	Категория пузырности						
	2—10	3—10	4—10	5—10	6—10	7—10	8—10
при массе заготовки, г, не более							
БС14		30	50	100	300	500	
СС4, СС5, СС8, СС15, ЖЗС12, ПС8, ПС13, НС9, ТС10		10	Для заготовок толщиной до 5 мм включительно:				
УФС1, УФС5, ФС1, ФС6, КС17, КС18, КС19, ИКС1, ИКС3, ИКС5, ИКС6, ИКС7, ПС11, НС10, НС13		—	30	50	100	200	

Примечание. Ввиду невозможности контроля категорию пузырности не устанавливают для заготовок стекла марок УФС2, УФС6, УФС8, ЖЗС17, НС11, НС12 и ТС3.

2.7. Требования к форме, размерам и качеству поверхностей заготовок — по ГОСТ 13240—78.

2.8. Требования к показателям качества вне рабочей зоны заготовки стекла не устанавливают.

### 3. ПРАВИЛА ПРИЕМКИ

3.1. Для проверки соответствия требованиям настоящего стандарта все партии заготовок или единичные заготовки стекла предприятие-изготовитель должно подвергать приемо-сдаточным испытаниям.

3.2. Состав и объем партии — по ГОСТ 13240—78.

3.3. Для проведения приемо-сдаточных испытаний применяют сплошной и выборочный контроль и контроль по образцам.

Программа приемо-сдаточных испытаний, объем выборки или число образцов, условия отбора и подготовки пробы — по табл. 8.

3.3.1. Допускается изменять объем выборки или число образцов при контроле стекла по всем нормируемым параметрам.

3.4. К каждой партии стекла должен быть приложен документ (паспорт) о качестве по ГОСТ 13240—78.

Результаты выборочной проверки распространяются на всю партию.

Таблица 8

Нормируемый параметр	Технические требования	Метод испытаний	Вид контроля	Объем выборки, число образцов или заготовок, шт.	Условия отбора и подготовки контролируемых заготовок или образцов
	Номер пункта				
Показатель поглощения $a(\lambda)$	1.3	4.2	По образцам	2	От стекла каждой варки
Показатель поглощения $a(\lambda_0)$	1.4	4.2	По образцам	1	От стекла каждой варки и каждой наводки
Длина волны $\lambda_{\text{пр}}$	1.4	4.2	Выборочный или по образцам	2 (наиболее темная и наиболее светлая заготовки)	От стекла каждой варки и каждой наводки
Крутизна $K_p$	1.4	4.2	По образцам	2	От стекла каждой варки и каждой наводки
Показатель поглощения $a_{\text{ср}}$	1.5	4.2	По образцам	2	От стекла каждой варки и каждого отжига
Среднее отклонение $O_{\text{ср}}$					
Наибольшее отклонение $O_{\text{max}}$					
Неоднородность окраски	2.3	4.3	Выборочный	2 (наиболее неоднородные заготовки)	От партии; допускается контроль не производить, если обеспечено качество технологическим процессом наводки
Показатель рассеяния	2.4	4.4	Выборочный	1	
Двулучепреломление	2.5	4.5	Выборочный	5%, но не менее 5 шт.	От партии; допускается производить контроль, если качество обеспечено отжигом

Продолжение табл. 8

Нормируемый параметр	Технические требования		Метод испытаний	Вид контроля	Объем выборки, число образцов или заготовок, шт.	Условия отбора и подготовки контролируемых заготовок или образцов
	Номер пункта					
Бессвильность	2.1	4.6	Выборочный, для темных стекол по образцам	10%, но не менее 10 шт; для темных стекол — 3 шт.	От партии или при операционном контроле	
Пузырьность	2.6	4.7	Сплошной		100%	Вся партия или при операционном контроле

#### 4. МЕТОДЫ ИСПЫТАНИЙ

4.1. Приемо-сдаточные испытания следует проводить методами, установленными настоящим стандартом.

4.1.1. Допускается применять другие методы контроля с предельной погрешностью определения не более указанной для перечисленных методов, или методы, обеспечивающие качество стекла в пределах заказа потребителя.

4.2. Показатель поглощения  $a(\lambda)$  (п. 1.3), показатель поглощения  $a_{cp}$  (п. 1.5), показатель поглощения  $a(\lambda_0)$  (п. 1.4), длину волны  $\lambda_{pr}$  (п. 1.4) следует измерять на спектрофотометре по технической документации.

Требования к образцам — по нормативно-технической документации.

4.2.1. Определение показателей поглощения следует производить с учетом многократного отражения излучения от обеих полированных поверхностей образца.

4.2.2. Качество стекла по длине волны  $\lambda_{pr}$  допускается обеспечивать путем визуального сравнения заготовок с контрольным образцом.

4.2.3. У образцов стекол, окрашенных сульфоселенидами или сульфидами металлов, и стекла марки ПС8 перед измерением должен быть наведен цвет.

Образцы стекол марок УФС1, УФС2, ОС6, ПС11, ТС3, ТС6, ТС10, НС1, НС2, НС3, НС6, НС7, НС8, НС9, НС10, НС11, НС12 перед измерением должны быть отожжены.

Наводка и отжиг образцов стекол должны быть произведены по тому режиму, что и заготовок контролируемой партии.

4.3. Неоднородность окраски (п. 2.3) при необходимости определяют путем визуального просмотра заготовок в проходящем свете, сравнивая их с контрольными образцами, или измерением на спектрофотометре двух наиболее неоднородных по цвету заготовок из партии.

4.4. Показатель рассеяния (п. 2.4) при необходимости определяют путем сравнения с контрольным образцом.

Просмотр производят на темном фоне при боковом освещении.

4.5. Двулучепреломление (п. 2.5) при необходимости следует измерять по ГОСТ 3519—69 на поляриметре; разность хода измеряют в середине заготовки в направлении наибольшего размера.

4.6. Бессвильность (п. 2.1) следует определять: заготовок, заказанных по 1—2-й категориям, — по ГОСТ 3521—69;

заготовок, заказанных по 3-й категории, — путем визуального просмотра в проходящем свете.

Контроль заготовок, заказанных по 4-й категории, не производят, обеспечивая качество стекла технологическим процессом варки.

4.7. Категорию пузырности (п. 2.6) следует определять по ГОСТ 3522—69. При определении категории пузырности камни, кристаллы и головки узловых свиляй приравнивают к пузырям.

Толщина стекла, просматриваемого на установке с электронно-оптическим преобразователем или флюоресцирующим экраном, должна быть не более 10 мм.

Толщина стекла, просматриваемого на установке с проекцией на сетчатку глаза, должна быть не более:

5 мм — для стекла марок с установленной наивысшей категорией пузырности 4 (стекла с недостаточной прозрачностью);

10 мм — для стекла марок с установленной наивысшей категорией пузырности 3 (стекла со средней прозрачностью);

25 мм — для стекла остальных марок.

4.8. Проверку размеров заготовок и глубины залегания пороков стекла следует производить по ГОСТ 13240—78.

#### 5. МАРКИРОВКА, УПАКОВКА, ТРАНСПОРТИРОВАНИЕ И ХРАНЕНИЕ

5.1. Маркировка, упаковка, транспортирование и хранение заготовок оптического цветного стекла — по ГОСТ 13240—78.

**ПРИЛОЖЕНИЕ**  
*Справочное*

**ФИЗИКО-ХИМИЧЕСКИЕ СВОЙСТВА ОПТИЧЕСКИХ ЦВЕТНЫХ СТЕКОЛ**

1. Показатели поглощения  $\alpha(\lambda)$  в ультрафиолетовой, видимой и ближайшей инфракрасной областях спектра слоя стекла толщиной 1 мм приведены в табл. 1.

Таблица 1

Длина волны $\lambda$ , нм	Показатель поглощения $\alpha(\lambda)$ слоя стекла толщиной 1 мм по маркам							
	УФС1	УФС2	УФС5	УФС6	УФС8	ФС1	ФС6	СС1
240	0,320	2,700	0,390	>3	—	>3	—	>3
260	0,072	0,665	0,063	>3	4,500	>3	2,600	>3
280	0,025	0,173	0,018	1,740	2,100	>3	0,570	>3
300	0,008	0,053	0,007	0,480	0,710	>3	0,190	2,000
320	0,004	0,028	0,003	0,130	0,260	0,785	0,084	0,462
340	0,004	0,029	0,003	0,045	0,110	0,250	0,043	0,110
350	0,005	0,036	0,006	0,035	0,087	0,145	0,032	0,060
360	0,008	0,055	0,009	0,033	0,108	0,075	0,025	0,030
380	0,035	0,271	0,054	0,104	0,250	0,040	0,023	0,015
400	0,230	2,210	0,410	0,830	0,950	0,050	0,035	0,010
420	0,720	>3	1,340	>3	1,900	0,080	0,082	0,010
440	1,030	>3	1,850	>3	2,300	0,173	0,190	0,012
450	1,070	>3	1,700	>3	2,300	0,254	0,300	0,015
460	1,100	>3	1,500	>3	2,300	0,392	0,450	0,020
480	1,330	>3	1,170	>3	2,700	0,750	0,950	0,040
500	1,700	>3	1,170	>3	3,200	1,408	1,470	0,080
520	2,300	>3	1,420	>3	3,500	2,255	1,750	0,132
540	2,500	>3	1,480	>3	3,100	2,500	1,650	0,150
550	2,500	>3	1,460	>3	3,100	2,198	1,550	0,129
560	2,750	>3	1,600	>3	3,500	2,020	1,500	0,140
580	3,500	>3	2,100	>3	4,500	>3	2,200	0,221
600	3,200	>3	1,850	>3	4,500	>3	3,200	0,263
620	3,000	>3	1,700	>3	3,800	>3	3,100	0,271
640	2,400	>3	1,350	>3	3,800	>3	3,100	0,300
650	1,750	>3	1,030	>3	3,700	>3	3,400	0,306
660	1,150	>3	0,700	>3	3,400	>3	3,500	0,290
680	0,360	1,362	0,260	2,920	2,150	2,230	2,700	0,220
700	0,120	0,654	0,110	0,900	0,970	0,960	1,280	0,180
720	0,080	0,489	0,102	0,410	0,470	0,530	0,430	0,170
740	0,095	0,630	0,132	0,280	0,330	0,440	0,130	0,166
750	0,110	0,754	0,160	0,300	0,320	0,420	0,067	0,166
760	0,125	0,912	0,185	0,360	0,330	0,400	0,036	0,166
780	0,155	1,270	0,240	0,470	0,380	0,400	0,014	0,168

Продолжение табл. 1

Длина волны $\lambda$ , нм	Показатель поглощения $\alpha(\lambda)$ слоя стекла толщиной 1 мм по маркам							
	УФС1	УФС2	УФС5	УФС6	УФС8	ФС1	ФС6	СС1
800	0,185	1,510	0,280	0,570	0,420	0,400	0,011	0,169
840	0,220	1,950	0,340	0,780	0,460	0,400	0,014	0,160
880	0,245	2,170	0,360	0,900	0,470	0,380	0,020	0,152
920	0,265	2,130	0,350	0,940	0,470	0,358	0,029	0,140
960	0,245	2,008	0,310	0,960	0,480	0,320	0,042	0,130
1000	0,230	1,725	0,270	0,990	0,500	0,325	0,064	0,120
1100	0,260	1,320	0,230	1,220	0,660	0,425	0,190	0,110
1200	0,400	1,742	0,330	1,510	0,850	0,560	0,380	0,096
1300	0,480	2,190	0,430	1,540	1,180	0,713	0,510	0,080
1400	0,490	2,379	0,480	1,410	1,230	0,636	0,550	0,070
1500	0,470	2,399	0,480	1,580	1,310	0,696	0,590	0,060
1800	0,430	2,190	0,400	1,580	1,240	0,442	0,530	0,050
2100	0,300	1,700	0,360	1,150	1,030	1,161	0,300	0,040
2400	0,230	1,163	0,310	0,840	0,740	0,055	0,170	0,027
2700	0,270	1,051	0,340	0,600	0,480	0,135	0,160	0,047
3000	1,100	2,221	1,010	0,530	0,730	0,214	0,370	0,193

Продолжение табл. 1

Длина волны $\lambda$ , нм	Показатель поглощения $\alpha(\lambda)$ слоя стекла толщиной 1 мм по маркам							
	СС2	СС4	СС5	СС8	СС9	СС15	С3С5	С3С7
240	>3	>3	>3	>3	>3	>3	>3	>3
260	>3	>3	>3	>3	>3	>3	>3	>3
280	2,732	>3	>3	>3	>3	>3	>3	>3
300	0,710	1,500	>3	>3	1,200	3,500	>3	>3
320	0,152	0,682	>3	2,400	0,270	0,930	1,520	0,752
340	0,055	0,272	1,522	0,680	0,048	0,260	0,460	0,165
350	0,040	0,163	1,000	0,375	0,024	0,160	0,250	0,086
360	0,032	0,080	0,565	0,181	0,016	0,103	0,140	0,049
380	0,015	0,050	0,175	0,092	0,010	0,060	0,050	0,026
400	0,010	0,040	0,078	0,078	0,012	0,046	0,034	0,015
420	0,010	0,055	0,050	0,072	0,028	0,052	0,031	0,011
440	0,016	0,115	0,060	0,080	0,051	0,079	0,031	0,010
450	0,025	0,150	0,072	0,102	0,056	0,103	0,031	0,009
460	0,040	0,232	0,090	0,130	0,059	0,140	0,031	0,009
480	0,079	0,491	0,170	0,230	0,066	0,350	0,031	0,010
500	0,152	0,880	0,370	0,400	0,078	0,750	0,031	0,014
520	0,244	1,340	0,725	0,640	0,097	1,310	0,034	0,032
540	0,256	1,528	1,181	0,781	0,109	2,000	0,041	0,067

Продолжение табл. 1

Длина волны $\lambda$ , нм	Показатель поглощения $a$ ( $\lambda$ ) слоя стекла толщиной 1 мм по маркам							
	CC2	CC4	CC5	CC8	CC9	CC15	C3C5	C3C7
550	0,220	1,270	1,161	0,730	0,100	1,900	0,046	0,079
560	0,200	1,218	1,050	0,700	0,094	1,700	0,052	0,100
580	0,330	1,862	1,445	1,080	0,117	2,400	0,074	0,155
600	0,398	2,253	1,832	1,381	0,145	3,100	0,096	0,214
620	0,370	2,102	1,785	1,461	0,142	2,900	0,126	0,280
640	0,392	2,223	1,991	1,620	0,150	3,300	0,160	0,352
650	0,384	2,102	1,940	1,641	0,149	3,300	0,176	0,380
660	0,330	1,850	1,672	1,633	0,139	2,900	0,194	0,419
680	0,180	1,010	0,935	1,370	0,100	1,750	0,232	0,484
700	0,044	0,330	0,480	1,040	0,060	1,040	0,276	0,533
720	0,009	0,049	0,391	1,020	0,060	0,920	0,320	0,570
740	0,001	0,011	0,372	1,018	0,050	0,910	0,370	0,595
750	0,000	0,008	0,372	1,000	0,040	0,930	0,396	0,611
760	0,000	0,005	0,365	1,012	0,040	0,950	0,420	0,613
780	0,000	0,005	0,381	1,042	0,040	0,970	0,470	0,620
800	0,000	0,005	0,400	1,101	0,040	0,970	0,522	0,620
840	0,000	0,008	0,403	1,070	0,040	0,970	0,580	0,597
880	0,001	0,011	0,410	1,000	0,040	0,910	0,640	0,555
920	0,002	0,016	0,400	0,921	0,040	0,840	0,690	0,500
960	0,003	0,023	0,386	0,852	0,040	0,770	0,720	0,440
1000	0,005	0,037	0,363	0,780	0,040	0,690	0,740	0,389
1100	0,022	0,142	0,331	0,681	0,040	0,600	0,740	0,284
1200	0,050	0,267	0,332	0,561	0,040	0,720	0,700	0,212
1300	0,050	0,380	0,463	0,480	0,040	0,860	0,620	0,153
1400	0,047	0,357	0,434	0,410	0,040	0,800	0,540	0,112
1500	0,058	0,414	0,460	0,346	0,040	0,770	0,410	0,081
1800	0,043	0,370	0,369	0,240	0,036	0,630	0,310	0,028
2100	0,008	0,154	0,103	0,141	0,030	0,320	0,270	0,010
2400	0,000	0,048	0,027	0,100	0,028	0,140	0,260	0,006
2700	0,051	0,057	0,042	0,110	0,045	0,120	0,350	0,031
3000	0,134	0,241	0,122	0,140	0,158	0,230	0,500	0,112

Продолжение табл. 1

Длина волны $\lambda$ , нм	Показатель поглощения $a$ ( $\lambda$ ) слоя стекла толщиной 1 мм по маркам							
	C3C8	C3C9	C3C15	C3C16	C3C17	C3C20	C3C21	C3C22
240	>3	>3	>3	>3	>3	>3	>3	>3
260	>3	>3	>3	>3	>3	>3	>3	>3
280	>3	>3	2,920	>3	—	2,359	>3	>3

Продолжение табл. 1

Длина волны $\lambda$ , нм	Показатель поглощения $a$ ( $\lambda$ ) слоя стекла толщиной 1 мм по маркам							
	C3C8	C3C9	C3C15	C3C16	C3C17	C3C20	C3C21	C3C22
300	>3	>3	1,260	>3	2,200	1,570	>3	>3
320	1,553	>3	0,360	1,365	0,470	0,960	1,340	>3
340	0,428	1,435	0,110	0,394	0,096	0,492	0,230	1,103
350	0,257	0,956	0,055	0,238	0,047	0,339	0,093	0,492
360	0,171	0,680	0,024	0,145	0,026	0,223	0,036	0,214
380	0,094	0,411	0,009	0,086	0,013	0,087	0,007	0,046
400	0,063	0,280	0,004	0,057	0,005	0,033	0,003	0,017
420	0,043	0,203	0,004	0,050	0,004	0,016	0,001	0,009
440	0,034	0,153	0,003	0,045	0,003	0,015	0,001	0,008
450	0,029	0,136	0,003	0,042	0,003	0,017	0,001	0,007
460	0,027	0,122	0,003	0,039	0,003	0,018	0,001	0,007
480	0,028	0,110	0,003	0,033	0,003	0,036	0,001	0,007
500	0,041	0,128	0,005	0,031	0,005	0,077	0,003	0,011
520	0,076	0,187	0,007	0,033	0,010	1,410	0,008	0,028
540	0,138	0,303	0,010	0,036	0,020	0,236	0,023	0,076
550	0,180	0,386	0,013	0,039	0,027	0,320	0,036	0,116
560	0,231	0,488	0,015	0,043	0,035	0,405	0,056	0,182
580	0,349	0,720	0,022	0,052	0,055	0,612	0,117	0,371
600	0,495	1,000	0,032	0,065	0,077	0,965	0,211	0,673
620	0,642	1,300	0,042	0,083	0,101	1,470	0,343	1,093
640	0,818	1,630	0,055	0,109	0,125	1,520	0,537	1,640
650	0,889	1,780	0,062	0,120	0,136	1,680	0,620	1,990
660	0,979	1,925	0,068	0,138	0,147	1,860	0,759	2,390
680	1,100	2,228	0,085	0,171	0,168	1,745	1,015	>3
700	1,232	2,440	0,100	0,210	0,186	1,300	1,315	>3
720	1,320	2,610	0,118	0,246	0,195	0,395	1,645	>3
740	1,370	2,738	0,136	0,281	0,200	0,068	1,900	>3
750	1,390	2,798	0,142	0,300	0,205	0,024	2,080	>3
760	1,403	2,850	0,150	0,320	0,205	0,009	2,210	>3
780	1,430	2,910	0,166	0,358	0,205	0,002	2,450	>3
800	1,430	2,920	0,182	0,394	0,205	0,002	2,640	>3
840	1,370	2,820	0,208	0,465	0,195	0,003	2,890	>3
880	1,284	2,640	0,226	0,520	0,180	0,004	2,980	>3
920	1,168	2,430	0,239	0,560	0,160	0,006	2,890	>3
960	1,036	2,200	0,249	0,589	0,140	0,009	2,690	>3
1000	0,910	1,920	0,250	0,609	0,120	0,011	2,480	>3
1100	0,674	1,422	0,244	0,615	0,085	0,016	1,890	>3
1200	0,501	1,062	0,235	0,560	0,063	0,042	1,420	>3
1300	0,365	0,785	0,221	0,482	0,044	0,080	1,110	2,960
1400	0,275	0,620	0,187	0,382	0,029	0,135	0,774	2,050
1500	0,202	0,432	0,160	0,308	0,020	0,316	0,475	1,390

*Продолжение табл. 1*

Длина волны $\lambda$ , нм	Показатель поглощения $a$ ( $\lambda$ ) слоя стекла толщиной 1 мм по маркам							
	СЗС8	СЗС9	СЗС15	СЗС16	СЗС17	СЗС20	СЗС21	СЗС22
1800	0,076	0,165	0,096	0,230	0,011	0,371	0,124	0,450
2100	0,033	0,065	0,099	0,200	0,014	0,304	0,078	0,200
2400	0,017	0,022	0,085	0,164	0,020	0,154	0,080	0,155
2700	0,039	0,037	0,100	0,185	0,037	0,381	0,160	0,210
3000	0,119	0,113	0,264	0,325	0,280	2,060	2,080	1,930

*Продолжение табл. 1*

Длина в одни $\lambda$ , нм	Показатель поглощения $a$ ( $\lambda$ ) слоя стекла толщиной 1 мм по маркам							
	C3C23	C3C24	C3C25	C3C26	C3C27	3C1	3C3	3C7
240	—	—	—	—	$>3$	$>3$	$>3$	$>3$
260	—	1,840	3,600	3,500	1,50	$>3$	$>3$	$>3$
280	—	0,400	0,850	0,760	0,250	$>3$	$>3$	$>3$
300	2,000	0,140	0,310	0,190	0,094	$>3$	$>3$	0,652
320	0,400	0,041	0,102	0,058	0,028	2,900	2,000	0,347
340	0,072	0,014	0,035	0,031	0,011	$>3$	0,700	0,180
350	0,031	0,009	0,023	0,025	0,007	$>3$	0,390	0,142
360	0,015	0,006	0,014	0,021	0,004	$>3$	0,192	0,105
380	0,004	0,004	0,010	0,019	0,003	$>3$	0,076	0,058
400	0,003	0,009	0,017	0,020	0,008	$>3$	0,080	0,040
420	0,002	0,011	0,022	0,019	0,011	1,960	0,190	0,170
440	0,002	0,011	0,019	0,019	0,010	1,080	0,300	0,265
450	0,002	0,011	0,019	0,020	0,009	0,800	0,320	0,235
460	0,001	0,012	0,021	0,021	0,010	0,620	0,310	0,250
480	0,001	0,009	0,017	0,016	0,009	0,380	0,250	0,590
500	0,001	0,009	0,016	0,016	0,008	0,229	0,184	0,280
520	0,003	0,010	0,019	0,016	0,010	0,150	0,150	0,020
540	0,008	0,010	0,019	0,016	0,009	0,150	0,186	0,400
550	0,013	0,010	0,018	0,014	0,009	0,180	0,220	0,290
560	0,019	0,011	0,019	0,013	0,009	0,220	0,260	0,030
580	0,038	0,013	0,024	0,012	0,011	0,340	0,410	0,060
600	0,070	0,019	0,034	0,013	0,016	0,490	0,593	0,260
620	0,120	0,028	0,048	0,014	0,025	0,670	0,801	0,730
640	0,190	0,040	0,070	0,020	0,037	0,810	0,992	0,830
650	0,220	0,047	0,082	0,022	0,044	0,860	1,080	0,810
660	0,270	0,054	0,093	0,024	0,052	0,900	1,131	1,020
680	0,360	0,072	0,130	0,031	0,070	0,950	1,230	0,210
700	0,470	0,094	0,170	0,043	0,086	1,000	1,370	0,020
720	0,580	0,116	0,210	0,059	0,127	1,050	1,420	0,010
740	0,700	0,150	0,260	0,079	0,166	1,060	1,460	0,010

*Продолжение табл. 1*

Длина волны $\lambda$ , нм	Показатель поглощения $a(\lambda)$ слоя стекла толщиной 1 мм по маркам							
	С3С23	С3С24	С3С25	С3С26	С3С27	ЗС1	ЗС3	ЗС7
750	0,750	0,160	0,290	0,089	0,164	1,050	1,460	0,020
760	0,800	0,180	0,320	0,105	0,203	1,040	1,450	0,025
780	0,900	0,220	0,390	0,135	0,249	1,022	1,400	0,059
800	0,980	0,250	0,470	0,180	0,296	0,980	1,350	0,104
840	1,080	0,340	0,630	0,290	0,410	0,940	1,270	0,175
880	1,130	0,440	0,820	0,450	0,532	0,900	1,200	0,235
920	1,110	0,540	1,020	0,600	0,658	0,850	1,130	0,195
960	1,080	0,650	1,220	0,760	0,750	0,790	1,060	0,061
1000	0,930	0,750	1,420	0,880	0,850	0,720	0,960	0,204
1100	0,720	0,900	1,700	0,940	0,984	0,580	0,750	1,090
1200	0,550	0,960	1,800	0,950	1,036	0,420	0,560	0,273
1300	0,420	0,970	1,850	0,830	1,036	0,310	0,430	0,052
1400	0,300	1,010	1,900	0,720	0,962	0,245	0,320	0,312
1500	0,190	0,930	1,750	0,610	0,868	0,180	0,220	0,486
1800	0,090	0,700	1,320	0,520	0,604	0,103	0,120	0,074
2100	0,065	0,670	1,260	0,670	0,644	0,065	0,078	0,300
2400	0,083	0,680	1,230	0,720	0,586	0,055	0,065	0,252
2700	0,150	0,570	0,980	0,650	0,418	0,045	0,055	0,351
3000	1,200	0,770	1,020	0,900	0,366	0,190	0,210	1,485

*Продолжение табл. 1*

Длина волны $\lambda$ , нм	Показатель поглощения $a$ ( $\lambda$ ) слоя стекла толщиной 1 мм по маркам							
	ЗС8	ЗС10	ЗС11	ЖЗС1	ЖЗС5	ЖЗС6	ЖЗС9	ЖЗС12
240	>3	—	—	—	>3	>3	>3	>3
260	>3	—	—	—	>3	>3	>3	>3
280	>3	—	—	—	>3	>3	>3	>3
300	>3	—	—	—	1,700	1,700	>3	>3
320	>3	—	—	—	0,720	1,050	2,250	>3
340	>3	—	—	—	1,600	2,600	>3	>3
350	>3	—	—	—	2,440	>3	>3	>3
360	2,900	—	—	—	>3	>3	>3	>3
380	2,000	—	4,800	—	2,500	>3	>3	>3
400	1,200	3,300	3,200	—	1,071	2,300	>3	>3
420	0,640	2,000	1,950	5,000	0,530	1,210	1,600	>3
440	0,320	1,400	1,070	2,500	0,280	0,680	0,740	2,830

Продолжение табл. 1

Длина волны $\lambda$ , нм	Показатель поглощения $a$ ( $\lambda$ ) слоя стекла толщиной 1 мм по маркам							
	ЗС8	ЗС10	ЗС11	ЖЗС1	ЖЗС5	ЖЗС6	ЖЗС9	ЖЗС12
450	0,220	1,200	0,770	1,850	0,210	0,490	0,570	2,330
460	0,150	1,030	0,570	1,320	0,160	0,340	0,440	1,860
480	0,064	0,730	0,330	0,710	0,097	0,180	0,240	1,270
500	0,027	0,450	0,210	0,380	0,058	0,100	0,126	0,820
520	0,016	0,240	0,150	0,220	0,031	0,056	0,080	0,660
540	0,016	0,140	0,170	0,170	0,018	0,040	0,065	0,600
550	0,020	0,130	0,210	0,180	0,018	0,038	0,068	0,620
560	0,025	0,140	0,270	0,200	0,020	0,040	0,076	0,650
580	0,048	0,220	0,420	0,300	0,032	0,050	0,112	0,800
600	0,084	0,370	0,620	0,450	0,043	0,070	0,168	1,040
620	0,130	0,620	0,840	0,610	0,051	0,094	0,240	1,350
640	0,90	0,800	1,040	0,750	0,058	0,110	0,280	1,570
650	0,220	0,850	1,120	0,810	0,060	0,110	0,300	1,660
660	0,250	0,930	1,200	0,840	0,060	0,110	0,316	1,730
680	0,310	0,880	1,290	0,830	0,053	0,092	0,324	1,690
700	0,360	0,900	1,400	0,850	0,048	0,087	0,322	1,700
720	0,400	0,770	1,40	0,810	0,040	0,070	0,310	1,690
740	0,450	0,610	1,430	0,760	0, <sup>2</sup>	0,057	0,290	1,650
750	0,480	0,590	1,420	0,740	0,	0,050	0,280	1,630
760	0,500	0,540	1,430	0,720	0,025	0,042	0,270	1,610
780	0,560	0,490	1,430	0,690	0,018	0,029	0,250	1,590
800	0,590	0,470	1,430	0,670	0,011	0,020	0,250	1,570
840	0,640	0,430	1,390	0,650	0,010	0,014	0,240	1,520
880	0,630	0,360	1,320	0,610	0,010	0,011	0,230	1,460
920	0,560	0,270	1,20	0,530	0,0	0,010	0,210	1,380
960	0,470	0,170	1,110	0,470	0,010	0,010	0,190	1,320
1000	0,400	0,102	0,990	0,430	0,010	0,010	0,170	1,200
1100	0,280	0,034	0,740	0,330	0,010	0,010	0,140	0,930
1200	0,210	0,014	0,90	0,240	0,010	0,010	0,100	0,730
1300	0,140	0,005	0,490	0,180	0,010	0,010	0,075	0,570
1400	0,031	0,004	0,410	0,140	0,010	0,010	0,060	0,440
1500	0,040	0,007	0,340	0,110	0,010	0,010	0,038	0,310
1800	0,031	0,020	0,220	0,070	0,010	0,010	0,023	0,220
2100	0,071	0,048	0,130	0,030	0,010	0,010	0,019	0,180
2400	0,150	0,086	0,080	0,020	0,013	0,010	0,022	0,160
2700	0,530	0,150	0,055	0,040	0,031	0,030	0,040	0,150
3000	2,840	1,260	0,110	0,140	0,110	0,110	0,110	0,210

Продолжение табл. 1

Длина волны $\lambda$ , нм	Показатель поглощения $a$ ( $\lambda$ ) слоя стекла толщиной 1 мм по маркам						
	ЖЗС17	ЖЗС18	ЖС3	ЖС4	ЖС19	ЖС20	ОС5
240	>3	0,650	>3	>3	>3	1,140	>3
260	>3	0,400	>3	>3	>3	0,320	>3
280	>3	0,230	2,580	>3	>3	0,144	>3
300	>3	0,130	0,410	>3	>3	0,089	>3
320	>3	0,074	0,300	>3	2,500	0,193	1,770
340	>3	0,058	1,020	>3	0,530	0,450	1,330
350	>3	0,058	1,430	>3	0,210	0,560	1,240
360	>3	0,062	1,880	>3	0,090	0,590	1,180
380	>3	0,103	1,250	0,604	0,071	0,470	1,170
400	>3	0,200	0,380	0,190	0,170	0,340	1,170
420	>3	0,330	0,170	0,069	0,190	0,430	1,160
440	>3	0,430	0,082	0,033	0,110	0,590	1,030
450	>3	0,440	0,052	0,025	0,060	0,570	0,900
460	2,960	0,440	0,036	0,019	0,052	0,530	0,800
480	2,320	0,340	0,014	0,013	0,035	0,370	0,610
500	1,830	0,200	0,007	0,009	0,030	0,200	0,460
520	1,500	0,089	0,004	0,008	0,005	0,084	0,360
540	1,400	0,032	0,002	0,006	0,002	0,034	0,268
550	1,430	0,017	0,002	0,005	0,001	0,022	0,230
560	1,470	0,015	0,002	0,005	0,001	0,014	0,200
580	1,550	0,020	0,003	0,005	0,001	0,007	0,150
600	1,760	0,041	0,005	0,004	0,001	0,007	0,120
620	2,130	0,079	0,006	0,003	0,001	0,012	0,100
640	2,380	0,140	0,008	0,003	0,001	0,005	0,084
650	2,430	0,170	0,007	0,003	0,001	0,002	0,080
660	2,380	0,200	0,007	0,003	0,002	<0,001	0,076
680	2,180	0,250	0,006	0,002	0,002	<0,001	0,070
700	2,000	0,260	0,005	0,002	0,002	<0,001	0,066
720	1,880	0,250	0,003	0,002	0,002	<0,001	0,063
740	1,800	0,210	0,002	0,001	0,001	<0,001	0,061
750	1,790	0,190	0,002	0,002	0,001	<0,001	0,060
760	1,800	0,170	0,002	0,002	0,001	<0,001	0,060
780	1,870	0,120	0,001	0,001	0,002	<0,001	0,060
800	1,900	0,077	0,001	0,001	0,002	<0,001	0,060
840	1,840	0,032	0,000	0,001	0,002	0,001	0,060
880	1,750	0,012	0,000	0,001	0,002	0,001	0,060
920	1,640	0,004	0,000	0,001	0,002	0,001	0,060
960	1,550	0,002	0,000	0,001	0,002	0,012	0,060
1000	1,480	0,002	0,000	0,001	0,001	0,020	0,060
1100	1,180	0,001	0,000	0,001	0,001	0,008	0,060
1200	1,200	0,001	0,000	0,000	0,001	0,006	0,056

Продолжение табл. 1

Длина волны $\lambda$ , нм	Показатель поглощения $a$ ( $\lambda$ ) слоя стекла толщиной 1 мм по маркам						
	ЖЗС17	ЖЗС18	ЖС3	ЖС4	ЖС19	ЖС20	ОС5
1300	0,770	0,001	0,000	0,000	0,001	0,005	0,054
1400	0,600	0,003	0,000	0,000	0,001	0,005	0,050
1500	0,480	0,006	0,000	0,000	0,001	0,007	0,040
1800	0,420	0,024	0,000	0,000	0,001	0,019	0,032
2100	0,400	0,071	0,001	0,001	0,002	0,038	0,030
2400	0,350	0,160	0,005	0,007	0,009	0,072	0,030
2700	0,320	0,350	0,023	0,026	0,065	0,192	0,044
3000	0,550	2,400	0,146	0,164	0,230	1,200	0,150

Продолжение табл. 1

Длина волны $\lambda$ , нм	Показатель поглощения $a$ ( $\lambda$ ) слоя стекла толщиной 1 мм по маркам							
	ОС6	ИКС1	ИКС3	ИКС5	ИКС6	ИКС7	ПС5	ПС7
240	>3	>3	>3	—	—	—	>3	>3
260	>3	>3	>3	—	—	—	>3	>3
280	>3	>3	>3	—	—	—	>3	1,002
300	1,080	>3	>3	—	—	—	>3	0,345
320	0,480	2,500	>3	2,900	—	—	1,445	0,140
340	0,370	1,150	>3	1,600	—	—	0,253	0,052
350	0,340	0,900	>3	1,720	—	—	0,128	0,254
360	0,320	0,750	>3	1,850	—	—	0,071	0,230
380	0,300	0,700	>3	1,550	—	—	0,025	0,004
400	0,300	0,900	>3	0,850	—	—	0,013	0,005
420	0,300	1,600	>3	1,480	—	—	0,020	0,005
440	0,272	2,750	>3	3,100	—	—	0,031	0,014
450	0,240	>3	>3	3,900	—	—	0,036	0,013
460	0,200	>3	>3	4,700	—	—	0,041	0,026
480	0,156	>3	>3	6,100	—	—	0,047	0,037
500	0,110	>3	>3	6,100	—	—	0,049	0,025
520	0,075	>3	>3	6,000	—	—	0,049	0,075
540	0,050	>3	>3	5,500	—	—	0,046	0,042
550	0,040	>3	>3	5,100	—	—	0,043	0,009
560	0,035	>3	>3	4,800	—	—	0,041	0,012
580	0,025	2,850	>3	4,100	—	—	0,033	0,473
600	0,022	2,470	>3	3,600	—	—	0,027	0,166
620	0,020	2,210	>3	3,300	—	—	0,023	0,006
640	0,020	2,000	>3	2,900	6,000	—	0,020	0,003
650	0,020	1,900	>3	2,750	5,700	—	0,018	0,002
660	0,020	1,800	>3	2,600	5,400	—	0,017	0,002
680	0,020	1,600	>3	2,350	4,900	—	0,014	0,025

Продолжение табл. 1

Длина волны $\lambda$ , нм	Показатель поглощения $a$ ( $\lambda$ ) слоя стекла толщиной 1 мм по маркам						
	ОС6	ИКС1	ИКС3	ИКС5	ИКС6	ИКС7	ПС5
700	0,020	1,360	>3	2,050	4,300	—	0,012
720	0,021	1,200	>3	1,800	3,700	5,700	0,010
740	0,022	1,030	>3	1,460	3,000	4,600	0,008
750	0,022	0,940	2,840	1,330	2,750	4,200	0,008
760	0,023	0,860	2,580	1,200	2,500	3,800	0,007
780	0,025	0,690	2,050	0,960	2,000	3,100	0,006
800	0,027	0,550	1,590	0,750	1,600	2,500	0,004
840	0,029	0,390	1,120	0,460	0,990	1,490	0,002
880	0,030	0,230	0,670	0,270	0,570	0,870	0,001
920	0,030	0,100	0,370	0,150	0,320	0,500	0,007
960	0,030	0,050	0,226	0,086	0,190	0,280	0,002
1000	0,030	0,030	0,140	0,051	0,114	0,160	0,000
1100	0,030	0,020	0,080	0,017	0,039	0,047	0,000
1200	0,030	0,020	0,048	0,010	0,022	0,031	0,003
1300	0,030	0,010	0,036	0,009	0,019	0,027	0,000
1400	0,030	0,010	0,032	0,009	0,017	0,023	0,007
1500	0,024	0,010	0,029	0,009	0,015	0,020	0,000
1800	0,020	0,010	0,028	0,010	0,009	0,012	0,001
2100	0,020	0,010	0,028	0,014	0,009	0,009	0,003
2400	0,022	0,020	0,030	0,019	0,013	0,012	0,006
2700	0,056	0,040	0,045	0,027	0,022	0,018	0,163
3000	0,150	0,100	0,130	0,090	0,090	0,090	0,156
3200	—	—	—	—	—	—	0,208
3400	—	—	—	—	—	—	0,208
3500	—	—	—	—	—	—	0,208
3600	—	—	—	—	—	—	0,208
3800	—	—	—	—	—	—	0,208
Длина волны $\lambda$ , нм	ПС8	ПС11	ПС13	ПС14	НС1	НС2	НС3
240	—	0,077	>3	>3	>3	>3	>3
260	—	0,035	>3	>3	>3	>3	>3
280	—	0,010	>3	1,600	>3	>3	>3
300	2,550	0,003	>3	0,606	>3	>3	>3
320	1,300	0,001	1,510	0,237	0,950	>3	>3
340	0,800	0,001	0,430	0,095	0,203	0,700	2,000
350	0,720	0,001	0,240	0,051	0,100	0,291	0,700
360	0,700	0,002	0,140	0,026	0,041	0,167	0,402
380	0,680	0,004	0,073	0,010	0,011	0,080	0,200
400	0,660	0,011	0,110	0,005	0,031	0,080	0,200
420	0,630	0,032	0,380	0,006	0,050	0,140	0,384
440	0,630	0,085	0,810	0,010	0,079	0,286	0,541
450	0,620	0,140	1,120	0,014	0,081	0,290	0,552

Продолжение табл. 1

Длина волны $\lambda$ , нм	Показатель поглощения $a(\lambda)$ слоя стекла толщиной 1 мм по маркам						
	ПС8	ПС11	ПС13	ПС14	НС1	НС2	НС3
460	0,630	0,220	1,380	0,021	0,080	0,272	0,538
480	0,700	0,420	1,740	0,035	0,073	0,240	0,480
500	0,960	0,610	1,960	0,046	0,070	0,232	0,464
520	1,470	0,880	1,980	0,053	0,071	0,232	0,464
540	1,480	0,990	1,880	0,057	0,073	0,240	0,450
550	1,180	0,990	1,780	0,063	0,070	0,224	0,440
560	0,840	1,110	1,690	0,068	0,066	0,208	0,425
580	0,440	1,440	1,440	0,068	0,072	0,232	0,395
600	0,250	1,300	1,220	0,061	0,078	0,248	0,460
620	0,160	1,220	1,060	0,052	0,079	0,250	0,487
640	0,110	0,930	0,920	0,038	0,081	0,264	0,520
650	0,089	0,670	0,870	0,031	0,076	0,252	0,480
660	0,077	0,450	0,830	0,025	0,070	0,218	0,408
680	0,058	0,120	0,730	0,013	0,043	0,128	0,244
700	0,045	0,033	0,640	0,004	0,030	0,080	0,144
720	0,037	0,015	0,550	0,002	0,030	0,070	0,107
740	0,032	0,012	0,480	0,001	0,020	0,062	0,099
750	0,029	0,013	0,440	0,001	0,020	0,060	0,097
760	0,027	0,014	0,400	0,001	0,022	0,055	0,097
780	0,023	0,016	0,320	0,001	0,024	0,065	0,106
800	0,020	0,019	0,250	0,002	0,030	0,080	0,142
840	0,016	0,028	0,150	0,002	0,038	0,095	0,165
880	0,013	0,039	0,087	0,003	0,040	0,103	0,180
920	0,010	0,050	0,048	0,005	0,044	0,110	0,198
960	0,009	0,058	0,026	0,006	0,048	0,120	0,208
1000	0,008	0,062	0,015	0,008	0,050	0,120	0,216
1100	0,006	0,063	0,002	0,010	0,050	0,138	0,218
1200	0,005	0,076	0,002	0,011	0,040	0,134	0,217
1300	0,004	0,090	0,002	0,012	0,040	0,112	0,200
1400	0,004	0,122	0,002	0,013	0,040	0,100	0,184
1500	0,003	0,130	0,002	0,011	0,036	0,096	0,172
1800	0,002	0,107	0,003	0,011	0,040	0,090	0,176
2100	0,004	0,119	0,005	0,012	0,032	0,090	0,160
2400	0,007	0,147	0,011	0,021	0,040	0,080	0,152
2700	0,033	0,320	0,022	0,044	0,066	0,100	0,180
3000	0,180	1,545	0,096	0,681	0,130	0,220	0,280

Продолжение табл. 1

Длина волны $\lambda$ , нм	Показатель поглощения $a(\lambda)$ слоя стекла толщиной 1 мм по маркам							
	НС6	НС7	НС8	НС9	НС10	НС11	НС12	НС13
240	>3	>3	>3	>3	>3	>3	>3	>3
260	>3	>3	>3	>3	>3	>3	>3	>3
280	>3	>3	>3	>3	>3	>3	>3	>3
300	>3	>3	>3	>3	>3	>3	>3	>3
320	1,425	2,220	>3	>3	>3	>3	>3	>3
340	0,365	0,617	1,148	2,287	>3	>3	>3	>3
350	0,205	0,369	0,747	1,548	2,300	>3	>3	2,917
360	0,129	0,244	0,536	1,120	1,699	>3	>3	2,130
380	0,127	0,222	0,443	0,894	1,319	>3	>3	1,600
400	0,062	0,123	0,294	0,619	0,990	2,303	>3	1,213
420	0,071	0,127	0,288	0,595	0,930	2,107	>3	1,105
440	0,066	0,125	0,283	0,581	0,900	2,020	>3	1,078
450	0,061	0,116	0,271	0,560	0,875	1,960	>3	1,041
460	0,055	0,109	0,258	0,541	0,846	1,887	>3	1,009
480	0,053	0,109	0,260	0,544	0,850	1,887	>3	0,982
500	0,053	0,111	0,274	0,558	0,875	1,900	>3	0,974
520	0,051	0,110	0,274	0,560	0,875	1,917	>3	0,968
540	0,050	0,107	0,269	0,547	0,861	1,887	>3	0,946
550	0,050	0,106	0,258	0,545	0,854	1,887	>3	0,923
560	0,051	0,107	0,260	0,547	0,861	1,887	>3	0,914
580	0,053	0,113	0,269	0,563	0,881	1,97	>3	0,886
600	0,055	0,116	0,275	0,574	0,895	1,900	>3	0,853
620	0,058	0,115	0,272	0,564	0,875	1,850	>3	0,827
640	0,059	0,117	0,273	0,552	0,862	1,784	>3	0,800
650	0,060	0,118	0,274	0,546	0,862	1,750	>3	0,790
660	0,060	0,118	0,274	0,541	0,850	1,713	>3	0,780
680	0,062	0,116	0,261	0,503	0,810	1,577	2,725	0,754
700	0,064	0,112	0,250	0,457	0,755	1,427	2,345	0,733
720	0,058	0,114	0,251	0,440	0,735	1,340	2,120	0,740
740	0,074	0,120	0,260	0,438	0,736	1,280	1,995	0,741
750	0,078	0,124	0,265	0,440	0,744	1,260	1,970	0,741
760	0,081	0,129	0,274	0,446	0,752	1,243	1,925	0,731
780	0,089	0,139	0,291	0,453	0,784	1,207	1,864	0,731
800	0,091	0,154	0,307	0,467	0,805	1,183	1,810	0,737
840	0,114	0,171	0,349	0,508	0,870	1,177	1,763	0,749
880	0,127	0,191	0,388	0,548	0,936	1,210	1,755	0,772
920	0,141	0,210	0,424	0,592	0,985	1,243	1,755	0,796
960	0,154	0,227	0,457	0,625	1,050	1,273	1,765	0,818
1000	0,162	0,240	0,487	0,655	1,100	1,287	1,750	0,837
1100	0,173	0,254	0,536	0,680	1,102	1,253	1,673	0,830
1200	0,170	0,249	0,512	0,634	1,060	1,152	1,525	0,810

Продолжение табл. 1

Длина волны $\lambda$ , нм	Показатель поглощения $a(\lambda)$ слоя стекла толщиной 1 мм по маркам							
	HC6	HC7	HC8	HC9	HC10	HC11	HC12	HC13
1300	0,134	0,200	0,450	0,514	0,900	0,973	0,230	0,760
1400	0,104	0,160	0,363	0,410	0,710	0,825	1,050	0,662
1500	0,080	0,128	0,297	0,348	0,560	0,680	0,885	0,578
1800	0,052	0,100	0,235	0,280	0,460	0,576	0,793	0,518
2100	0,040	0,080	0,190	0,220	0,330	0,473	0,615	0,430
2400	0,052	0,076	0,151	0,162	0,260	0,320	0,430	0,356
2700	0,120	0,124	0,219	0,224	0,300	0,338	0,595	0,650
3000	0,296	0,485	0,618	0,610	0,630	0,760	0,770	0,772

Продолжение табл. 1

Длина волны $\lambda$ , нм	Показатель поглощения $a(\lambda)$ слоя стекла толщиной 1 мм по маркам							
	TC3	TC6	TC10	BC3	BC4	BC7	BC8	BC12
240	>3	>3	>3	1,220	>3	>3	>3	0,496
260	>3	>3	>3	0,676	>3	>3	0,261	
280	>3	>3	>3	0,248	1,113	>3	>3	0,083
300	>3	>3	>3	0,066	0,179	>3	>3	0,026
320	>3	>3	>3	0,020	0,038	>3	>3	0,003
340	>3	1,930	0,900	0,007	0,009	0,850	>3	0,001
350	>3	0,935	0,410	0,004	0,004	0,329	1,515	0,000
360	>3	0,586	0,210	0,002	0,002	0,133	0,551	0,000
380	>3	0,399	0,150	0,000	0,001	0,031	0,102	0,000
400	>3	0,325	0,150	0,000	0,000	0,009	0,026	0,000
420	2,640	0,340	0,430	0,000	0,000	0,003	0,008	0,000
440	2,715	0,367	0,670	0,000	0,000	0,001	0,002	0,000
450	2,758	0,374	0,670	0,000	0,000	0,000	0,001	0,000
460	2,760	0,370	0,630	0,000	0,000	0,000	0,001	0,000
480	2,665	0,363	0,520	0,000	0,000	0,000	0,000	0,000
500	2,490	0,340	0,450	0,000	0,000	0,000	0,000	0,000
520	2,250	0,309	0,390	0,000	0,000	0,000	0,000	0,000
540	0,070	0,269	0,370	0,000	0,000	0,000	0,000	0,000
550	2,000	0,241	0,370	0,000	0,000	0,000	0,000	0,000
560	1,965	0,217	0,360	0,000	0,000	0,000	0,000	0,000
580	1,970	0,207	0,310	0,000	0,000	0,000	0,000	0,000
600	2,065	0,195	0,300	0,000	0,000	0,000	0,000	0,000
620	2,238	0,180	0,330	0,000	0,000	0,000	0,000	0,000
640	2,380	0,171	0,320	0,000	0,000	0,000	0,000	0,000
650	2,444	0,166	0,290	0,000	0,000	0,000	0,000	0,000
660	2,485	0,159	0,240	0,000	0,000	0,000	0,000	0,000
680	2,558	0,130	0,150	0,000	0,000	0,000	0,000	0,000

Продолжение табл. 1

Длина волны $\lambda$ , нм	Показатель поглощения $a(\lambda)$ слоя стекла толщиной 1 мм по маркам							
	TC3	TC6	TC10	BC3	BC4	BC7	BC8	BC12
700	2,580	0,114	0,100	0,000	0,000	0,000	0,000	0,000
720	2,525	0,114	0,100	0,000	0,000	0,000	0,000	0,000
740	2,360	0,119	0,110	0,000	0,000	0,000	0,000	0,000
750	2,225	0,125	0,120	0,000	0,000	0,000	0,000	0,000
760	2,180	0,131	0,130	0,000	0,000	0,000	0,000	0,000
780	2,180	0,140	0,120	0,000	0,000	0,000	0,000	0,000
800	2,150	0,149	0,170	0,000	0,000	0,000	0,000	0,000
840	2,015	0,166	0,210	0,000	0,000	0,000	0,000	0,000
880	1,850	0,182	0,240	0,000	0,000	0,000	0,000	0,000
920	1,720	0,193	0,260	0,000	0,000	0,000	0,000	0,000
960	1,600	0,202	0,270	0,000	0,000	0,000	0,000	0,000
1000	1,420	0,207	0,280	0,000	0,000	0,000	0,000	0,000
1100	1,050	0,212	0,220	0,000	0,000	0,000	0,000	0,000
1200	0,900	0,208	0,270	0,000	0,000	0,000	0,000	0,000
1300	0,724	0,189	0,230	0,000	0,001	0,000	0,000	0,000
1400	0,560	0,163	0,200	0,001	0,002	0,000	0,000	0,001
1500	0,408	0,137	0,170	0,001	0,005	0,000	0,000	0,001
1800	0,240	0,103	0,180	0,003	0,011	0,000	0,000	0,003
2100	0,145	0,081	0,190	0,007	0,026	0,001	0,001	0,008
2400	0,120	0,070	0,150	0,014	0,062	0,005	0,005	0,025
2700	0,155	1,093	0,100	0,047	0,215	0,024	0,020	0,154
3000	0,240	0,141	0,230	0,200	0,450	0,161	0,153	0,507

2. Показатели поглощения  $a(\lambda)$  в инфракрасной области спектра слоя толщиной 1 мм стекла марки BC14 приведены в табл. 2.

Таблица 2

Длина волны $\lambda$ , нм	Показатель поглощения $a(\lambda)$	Длина волны $\lambda$ , нм	Показатель поглощения $a(\lambda)$	Длина волны $\lambda$ , нм	Показатель поглощения $a(\lambda)$
1,0	Менее 0,001	3,2	0,102	4,7	0,044
1,5	" 0,001	3,3	0,073	4,8	0,050
1,8	" 0,001	3,4	0,062	4,9	0,070
2,0	" 0,001	3,5	0,051	5,0	0,112
2,1	" 0,001	3,5	0,040	5,1	0,175
2,2	" 0,001	3,7	0,031	5,2	0,270
2,3	" 0,001	3,8	0,028	5,3	0,380
2,4	" 0,001	3,9	0,025	5,4	0,470
2,5	" 0,001	4,0	0,024	5,5	0,540
2,6	" 0,001	4,1	0,023	5,6	0,580
2,7	0,006	4,2	0,021	5,7	0,580
2,8	0,077	4,3	0,023	5,8	0,590
2,9	0,157	4,4	0,025	5,9	0,620
3,0	0,157	4,5	0,029	6,0	0,670
3,1	0,130	4,6	0,033		

3. Оптическая плотность  $D(\lambda)$  в ультрафиолетовой, видимой и ближней инфракрасной областях спектра в слое рабочей толщины стекол, окрашенных сульфоселенидами или сульфидами металлов, приведена в табл. 3.

Таблица 3

Длина волны $\lambda$ , нм	Оптическая плотность $D(\lambda)$ стекла марки								
	ЖС10	ЖС11	ЖС12	ЖС16	ЖС17	ЖС18	ОС11		
	в слое рабочей толщины, мм								
	6		5						
240	более 4	>4	>4	>4	>4	>4	>4		
300	более 4	>4	>4	>4	>4	>4	>4		
350	более 4	>4	>4	>4	>4	>4	>4		
400	0,310	1,930	>4	>4	>4	>4	>4		
410	0,170	0,750	>4	>4	>4	>4	>4		
420	0,110	0,305	>4	>4	>4	>4	>4		
430	0,072	0,180	2,850	>4	>4	>4	>4		
440	0,056	0,115	0,850	>4	>4	>4	>4		
450	0,046	0,085	0,305	>4	>4	>4	>4		
460	0,037	0,060	0,190	1,540	>4	>4	>4		
470	0,031	0,044	0,130	0,305	>4	>4	>4		
480	0,026	0,033	0,085	0,150	1,360	>4	>4		
490	0,021	0,025	0,055	0,075	0,310	>4	>4		
500	0,016	0,020	0,038	0,045	0,130	1,100	>4		
510	0,013	0,016	0,030	0,030	0,080	0,315	>4		
520	0,011	0,013	0,020	0,020	0,055	0,155	2,800		
530	0,009	0,010	0,015	0,013	0,035	0,085	0,580		
540	0,007	0,008	0,010	0,009	0,025	0,050	0,190		
550	0,006	0,006	0,007	0,006	0,018	0,035	0,080		
560	0,005	0,005	0,005	0,005	0,013	0,028	0,040		
570	0,005	0,004	0,003	0,003	0,011	0,022	0,025		
580	0,005	0,004	0,002	0,003	0,010	0,019	0,018		
590	0,005	0,003	0,001	0,003	0,009	0,017	0,015		
600	0,005	0,003	0,001	0,003	0,010	0,015	0,013		
610	0,005	0,003	0,001	0,004	0,010	0,014	0,012		
620	0,006	0,003	0,002	0,005	0,010	0,013	0,011		
630	0,007	0,004	0,002	0,006	0,010	0,013	0,010		
640	0,008	0,004	0,003	0,007	0,010	0,012	0,010		
650	0,009	0,005	0,005	0,008	0,011	0,012	0,010		
660	0,010	0,007	0,006	0,010	0,011	0,012	0,010		
670	0,011	0,008	0,007	0,011	0,012	0,012	0,010		
680	0,012	0,009	0,010	0,013	0,013	0,012	0,011		
690	0,013	0,011	0,011	0,014	0,014	0,012	0,011		
700	0,015	0,013	0,013	0,015	0,015	0,012	0,012		
710	0,016	0,014	0,015	0,017	0,017	0,012	0,013		
720	0,017	0,015	0,017	0,019	0,020	0,012	0,015		
730	0,018	0,017	0,020	0,020	0,022	0,012	0,016		
740	0,019	0,018	0,022	0,022	0,024	0,012	0,017		
750	0,020	0,020	0,024	0,024	0,026	0,013	0,010		
760	0,021	0,022	0,026	0,026	0,029	0,013	0,020		
770	0,022	0,023	0,029	0,028	0,031	0,013	0,022		
780	0,023	0,025	0,031	0,030	0,034	0,014	0,024		
790	0,024	0,027	0,033	0,032	0,037	0,014	0,025		
800	0,025	0,028	0,035	0,034	0,039	0,015	0,027		
900	0,035	0,038	0,046	0,043	0,049	0,024	0,035		

## Продолжение табл. 3

Длина волны $\lambda$ , нм	Оптическая плотность $D(\lambda)$ стекла марки								
	ЖС10	ЖС11	ЖС12	ЖС16	ЖС17	ЖС18	ОС11		
	в слое рабочей толщины, мм								
	6		5						
1000	0,041	0,040	0,055	0,051	0,059	0,025	0,045		
1200	0,043	0,038	0,055	0,050	0,060	0,022	0,045		
1500	0,032	0,027	0,038	0,035	0,035	0,020	0,030		
1800	0,025	0,025	0,025	0,025	0,028	0,020	0,030		
2100	0,026	0,030	0,030	0,030	0,030	0,030	0,035		
2400	0,045	0,045	0,045	0,040	0,045	0,075	0,050		
2700	0,270	0,310	0,310	0,310	0,220	0,165	0,210		
3000	0,800	0,800	0,800	0,800	0,780	0,600	0,810		

## Продолжение табл. 3

Длина волны $\lambda$ , нм	Оптическая плотность $D(\lambda)$ стекла марки								
	ОС12	ОС13	ОС14	ОС17	КС10	КС11	КС13		
	в слое рабочей толщины, мм								
	5		2						
350									
400									
410									
420									
430									
440									
450									
460									
470									
480									
490									
500									
510									
520									
530									
540									
550									
560									
570									
580									
590									
600									
610									
620									
630									
640									
650									
660									
670									
680									
690									
700									
710									
720									
730									
740									
750									
760									
770									
780									
790									
800									
900									

Cв. 4

Продолжение табл. 3

Длина волны $\lambda$ , нм	Оптическая плотность $D(\lambda)$ стекла марки						
	OC12	OC13	OC14	OC17	KC10	KC11	KC13
	в слое рабочей толщины, мм						
	5		2		5		
650	0,015	0,015	0,010	0,014	0,018	0,030	0,040
660	0,017	0,014	0,008	0,014	0,016	0,025	0,028
670	0,018	0,014	0,006	0,013	0,015	0,022	0,020
680	0,020	0,015	0,005	0,012	0,014	0,020	0,017
690	0,021	0,015	0,005	0,012	0,014	0,018	0,016
700	0,024	0,016	0,005	0,012	0,014	0,017	0,015
710	0,025	0,017	0,005	0,011	0,014	0,016	0,015
720	0,028	0,018	0,005	0,011	0,015	0,017	0,016
730	0,030	0,019	0,006	0,011	0,015	0,017	0,016
740	0,032	0,021	0,007	0,011	0,016	0,018	0,017
750	0,035	0,023	0,008	0,011	0,017	0,018	0,017
760	0,038	0,025	0,009	0,011	0,018	0,019	0,018
770	0,040	0,027	0,010	0,010	0,011	0,020	0,018
780	0,043	0,029	0,012	0,010	0,021	0,021	0,019
790	0,047	0,032	0,014	0,010	0,022	0,023	0,019
800	0,050	0,034	0,015	0,009	0,024	0,024	0,020
900	0,063	0,044	0,023	0,010	0,039	0,036	0,025
1000	0,075	0,050	0,030	0,012	0,050	0,047	0,028
1200	0,075	0,050	0,025	0,011	0,045	0,045	0,025
1500	0,055	0,030	0,020	0,010	0,025	0,033	0,018
1800	0,045	0,030	0,020	0,010	0,023	0,028	0,020
2100	0,045	0,035	0,025	0,012	0,030	0,035	0,030
2400	0,050	0,050	0,035	0,030	0,050	0,057	0,048
2700	0,470	0,470	0,245	0,080	0,210	0,335	0,245
3000	1,185	1,185	0,800	0,240	0,760	0,925	0,805

Продолжение табл. 3

Длина волны $\lambda$ , нм	Оптическая плотность $D(\lambda)$ стекла марок				
	KC14	KC15	KC17	KC18	KC19
	в слое рабочей толщины, мм				
	5				
610	Св. 4				
620	3,300	Св. 4			
630	1,120	3,300			
640	0,315	0,950			
650	0,130	0,310	Св. 4	Св. 4	Св. 4
660	0,070	0,120	1,650	Св. 4	Св. 4
670	0,040	0,050	0,325	2,360	Св. 4
680	0,035	0,025	0,100	0,780	2,690

Продолжение табл. 3

Длина волны $\lambda$ , нм	Оптическая плотность $D(\lambda)$ стекла марки				
	KC14	KC15	KC17	KC18	KC19
	в слое рабочей толщины, мм				
	5				
690	0,028	0,018	0,050	0,200	1,000
700	0,020	0,015	0,036	0,110	0,340
710	0,017	0,012	0,030	0,070	0,125
720	0,015	0,010	0,026	0,053	0,063
730	0,015	0,008	0,024	0,045	0,051
740	0,015	0,006	0,024	0,040	0,045
750	0,015	0,005	0,025	0,037	0,042
760	0,016	0,005	0,026	0,035	0,040
770	0,017	0,006	0,026	0,034	0,039
780	0,018	0,007	0,027	0,034	0,039
790	0,019	0,009	0,028	0,035	0,040
800	0,020	0,010	0,029	0,035	0,040
900	0,030	0,018	0,040	0,039	0,043
1000	0,037	0,015	0,042	0,042	0,046
1200	0,035	0,013	0,045	0,040	0,045
1500	0,026	0,010	0,030	0,030	0,030
1800	0,020	0,011	0,029	0,028	0,027
2100	0,025	0,014	0,038	0,036	0,035
2400	0,040	0,025	0,055	0,055	0,060
2700	0,360	0,055	0,215	0,335	0,470
3000	0,800	0,595	0,825	0,900	1,240

Приведенные значения оптической плотности получены для толщины 5 мм стекла марки ЖС10 — для 6 мм, ОС17 — 2 мм. Близко к этим значениям оптической плотности могут быть получены для стекол других варок или обеспечены технологическим режимом наводки для рабочих толщин, установленных в табл. 3 настоящего стандарта в пределах от 2 до 10 мм, если значения  $\lambda_{\text{пр}}$  будут совпадать с приведенными.

4. Спектральные кривые коэффициента пропускания  $\tau(\lambda)$  стекол в слое различной толщины приведены на черт. 1—79.

Толщина слоя стекла, приведенная на чертежах, указана в миллиметрах.

5. Спектральные кривые коэффициента пропускания  $\tau(\lambda)$  стекол, окрашенных сульфоселенидами или сульфидами металлов, в слое рабочей толщины приведены на черт. 80—98.

6. Показатель преломления  $n_D$ , поправка на многократное отражение  $D_{\rho m}$ , группы химической устойчивости, температурный коэффициент линейного расширения  $\alpha_{20-120}$ , средний в пределах от 20 до 120°C, температура отжига  $T_o$ , среднее число пузырей в 1 кг стекла, наименьший диаметр пузыря, с которого начинают подсчет пузырей, и плотность  $\rho$  приведены в табл. 4.

7. Оптический коэффициент напряжения приведен в табл. 5.

Таблица 4

Марка стекла	Показатель преломления $n_D$	Поправка на отражение $D_{\rho m}$	Группы химической устойчивости по ГОСТ 13917-68		Температурный коэффициент линейного расширения $\alpha_{20-120} \cdot 10^7, ^\circ\text{C}^{-1}$	Температура отжига $T_{\text{отж}} \text{ в } {}^\circ\text{C}$	Среднее число пульзырей в 1 кг стекла	Наименьший диаметр пузыря при пусчеге, мм	Плотность $\rho, \text{г/см}^3$
			к влажной атмосфере	к пятнающим агентам					
УФС1	1,540	0,039	Д	I	—	90—104	490	1000	0,20
УФС2	1,557	0,041	Д	I	—	87—93	480	1000	0,30
УФС5	1,540	0,039	Д	I	—	104	480	0,20	2,65
УФС6	1,520	0,037	В	IV	5	102	490	300	0,30
УФС8	1,509	0,036	А	I	—	49—57	540	100	0,30
ФС1	1,524	0,038	В	IV	5	103	520	300	0,20
ФС6	1,495	0,034	А	I	—	54—60	600	300	0,20
СС1	1,520	0,037	В	I	—	104	520	100	0,10
СС2	1,520	0,037	В	I	—	103	520	100	0,20
СС4	1,520	0,037	В	I	—	104	520	300	0,20
СС5	1,582	0,044	В	II	1	89	470	100	0,20
СС8	1,520	0,037	В	I	—	102	500	100	0,20
СС9	1,519	0,037	В	I	—	103	520	100	0,10
СС15	1,513	0,036	В	I	—	103	475	100	0,20
СЗС7	1,529	0,038	В	I	—	99	520	300	0,10
СЗС8	1,514	0,036	В	I	—	96	460	300	0,10
СЗС9	1,517	0,037	В	I	—	102	450	100	0,20
СЗС15	1,522	0,037	В	I	—	103	440	100	0,05
СЗС16	1,520	0,037	В	I	—	99	520	1000	0,05
СЗС17	1,515	0,037	А	I	—	67	560	100	0,10
СЗС20	1,518	0,037	В	I	—	101	520	300	0,10
СЗС21	1,477	0,032	В	IV	5	94	420	100	0,20
СЗС22	1,535	0,039	а	IV	6	100	380	200	0,10
СЗС23	1,535	0,039	а	IV	6	100	400	100	0,20
СЗС24	1,534	0,039	а	IV	5	108	380	300	0,10
СЗС25	1,516	0,037	Д	I	—	55	620	300	0,05
	1,515	0,037	Д	I	—	55	620	300	0,05

Продолжение табл. 4

Марка стекла	Показатель преломления $n_D$	Поправка на отражение $D_{\rho m}$	Группы химической устойчивости по ГОСТ 13917-68		Температурный коэффициент линейного расширения $\alpha_{20-120} \cdot 10^7, ^\circ\text{C}^{-1}$	Температура отжига $T_{\text{отж}} \text{ в } {}^\circ\text{C}$	Среднее число пульзырей в 1 кг стекла	Наименьший диаметр пузыря при подсчете, мм	Плотность $\rho, \text{г/см}^3$
			к влажной атмосфере	к пятнающим агентам					
СЗС26	1,534	0,039	Д	IV	—	92	480	3000	0,05
СЗС27	1,503	0,035	Д	IV	1	59	570	380	0,05
ЗС1	1,524	0,038	В	I	—	103	520	30	0,20
ЗС3	1,523	0,037	Д	IV	—	99	520	100	0,20
ЗС7	1,535	0,039	Д	IV	6	105	360	1000	0,10
ЗС8	1,534	0,039	Д	IV	5	108	370	500	0,10
ЗС10	1,535	0,039	Б	I	—	113	(480)	300	0,20
ЗС11	1,550	0,040	Б	I	—	102	540	100	0,20
ЖЗС1	1,522	0,037	Б	I	—	102	540	100	0,05
ЖЗС5	1,522	0,037	Б	I	—	102	540	100	0,10
ЖЗС6	1,522	0,037	Б	I	—	102	540	100	0,10
ЖЗС9	1,527	0,038	Б	I	—	100	520	300	0,20
ЖЗС12	1,527	0,038	Б	IV	6	108	390	2000	0,10
ЖЗС17	1,534	0,039	Д	IV	5	104—113	520	1000	0,05
ЖЗС18	1,534	0,039	Б	IV	3	105	500	300	0,05
ЖКС3	1,536	0,050	А	I	—	102	540	100	0,05
ЖКС4	1,632	0,057	Б	I	—	102	540	100	0,05
ЖКС10	1,523	0,037	Б	I	—	102	540	100	0,05
ЖКС11	1,523	0,037	Б	I	—	102	540	100	0,05
ЖКС12	1,523	0,037	Б	I	—	102	540	100	0,05
ЖКС16	1,523	0,037	Б	I	—	102	540	100	0,05
ЖКС17	1,523	0,037	Б	III	—	65	560	300	0,05
ЖКС18	1,502	0,035	Б	IV	104	104—104	520	5000	0,10
ЖКС19	1,540	0,039	Д	IV	1	95—104	520	1000	0,10
ЖКС20	1,523	0,037	Б	I	—	104	520	300	0,05
ОС5	1,523	0,037	Б	I	—	104	520	300	0,05
ОС6	1,523	0,037	Б	I	—	104	520	300	0,05

Продолжение табл. 4

Марка стекла	Показатель преломления $n_D$	Поправка на оправку из стекла $D_{\text{рт}}$	Группы химической устойчивости по ГОСТ 13917-68		Температурный коэффициент линейного расширения $\alpha_{20-120} \cdot 10^{-7}, ^\circ\text{C}^{-1}$	Среднее число пузирьков в 1 кг стекла	Наименьший диаметр пузыря при подсчете, мм	Плотность $\rho, \text{г/см}^3$
			к влажной атмосфере	к пятнастическому атмосферному методу				
ОС11	1,523	0,037	B	I	102	540	100	0,05
ОС12	1,523	0,037	B	I	102	540	100	0,05
ОС13	1,523	0,037	B	I	102	540	100	0,05
ОС14	1,523	0,037	B	I	102	540	100	0,05
ОС17	1,523	0,037	B	I	102	540	100	0,05
КС10	1,523	0,037	B	I	102	540	100	0,05
КС11	1,523	0,037	B	I	102	540	100	0,05
КС13	1,523	0,037	B	I	102	540	100	0,05
КС14	1,523	0,037	B	I	102	540	100	0,05
КС15	1,523	0,037	B	I	102	540	100	0,05
КС17	1,523	0,037	B	I	102	540	100	0,05
КС18	1,523	0,037	B	I	102	540	100	0,05
КС19	1,523	0,037	B	I	102	540	100	0,05
ИКС1	1,525	0,038	B	I	99	520	300	0,30
ИКС3	1,525	0,038	B	I	100	520	300	0,30
ИКС5	1,533	0,039	B	I	92	465	100	0,30
ИКС6	1,541	0,039	B	I	100	465	100	0,30
ИКС7	1,556	0,041	B	I	100	500	300	0,30
ПС5	1,673	0,055	A	IV	80—85	420	100	0,05
ПС7	1,537	0,039	A	IV	—	98	510	1000
ПС8	1,604	0,047	A	IV	—	96	460	3000
ПС11	1,533	0,039	A	IV	—	104	470	3000
ПС13	1,591	0,045	B	IV	—	104—112	460	1000
ПС14	1,477	0,032	B	IV	—	98	410	1000
НС1	1,521	0,037	B	IV	—	100	520	100
НС2	1,523	0,037	B	IV	—	100	520	100
НС3	1,526	0,038	B	IV	—	100	520	100

Продолжение табл. 4

Марка стекла	Показатель преломления $n_D$	Поправка на оправку из стекла $D_{\text{рт}}$	Группы химической устойчивости по ГОСТ 13917-68		Температурный коэффициент линейного расширения $\alpha_{20-120} \cdot 10^7, ^\circ\text{C}^{-1}$	Среднее число пузирьков в 1 кг стекла	Наименьший диаметр пузыря при подсчете, мм	Плотность $\rho, \text{г/см}^3$
			к влажной атмосфере	к пятнастическому атмосферному методу				
НС6	1,502	0,035	A	IV	5	70	490	100
НС7	1,502	0,035	A	IV	5	72	490	100
НС8	1,503	0,035	A	IV	5	72	490	100
НС9	1,505	0,035	A	IV	4	72	490	100
НС10	1,509	0,036	A	IV	4	72	490	100
НС11	1,514	0,036	A	IV	3	72	490	100
НС12	1,527	0,038	A	IV	4	72	510	100
НС13	1,509	0,036	A	IV	4	105	520	100
НС13	1,525	0,038	B	IV	1	107	520	300
ТС6	1,526	0,038	B	IV	1	105	510	100
ТС10	1,523	0,037	A	IV	1	87	540	300
БС3	1,512	0,036	A	IV	1	99	480	1000
БС4	1,502	0,035	B	IV	2	95	450	100
БС7	1,643	0,062	A	IV	2	89	440	300
БС8	1,725	0,062	A	IV	1	72	560	300
БС12	1,508	0,037	A	IV	1	6	760	3000
БС14	1,670	0,055	a	IV	6	93	0,05	3,08

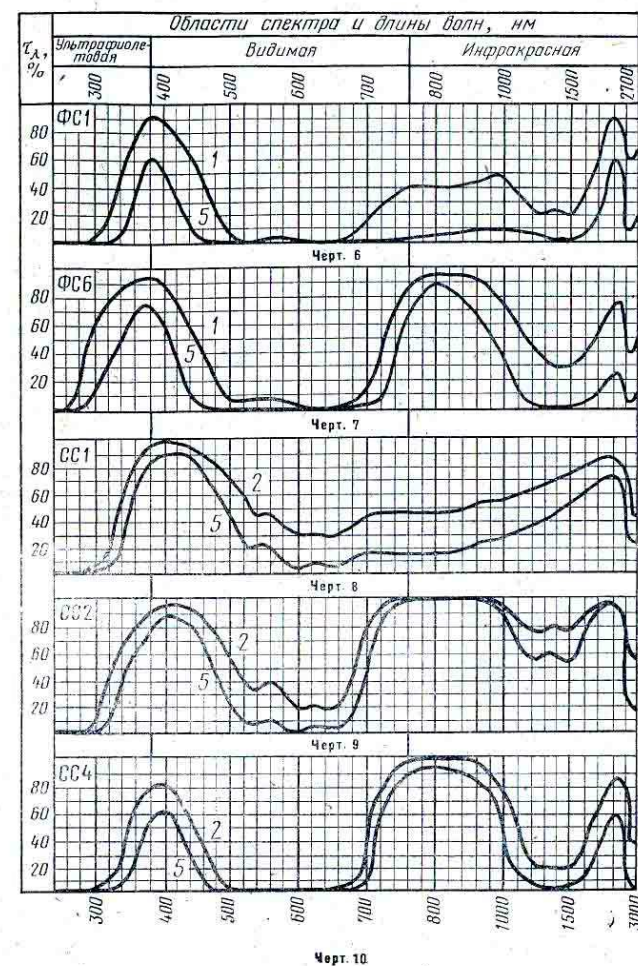
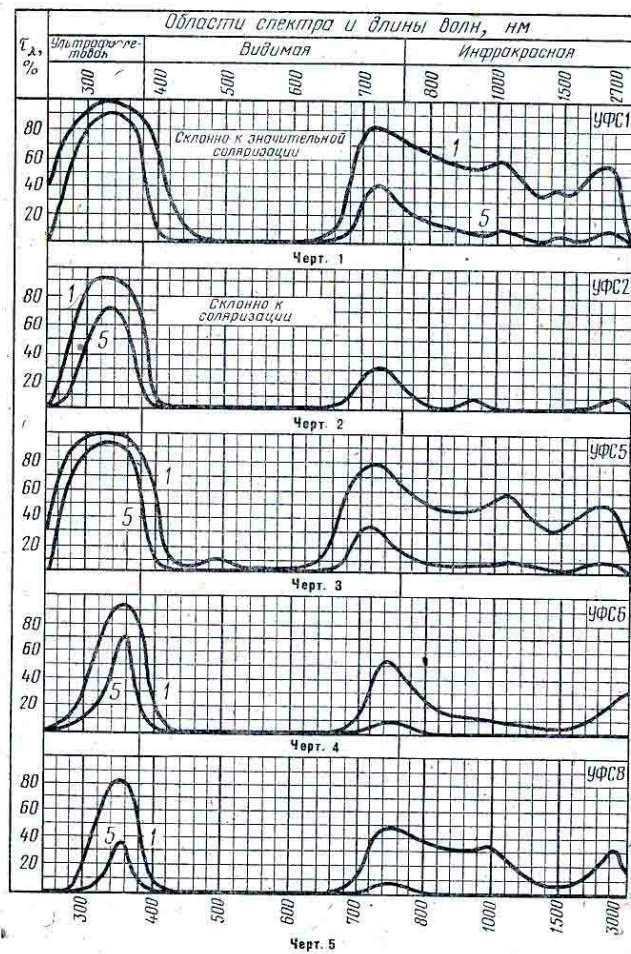
Таблица 5

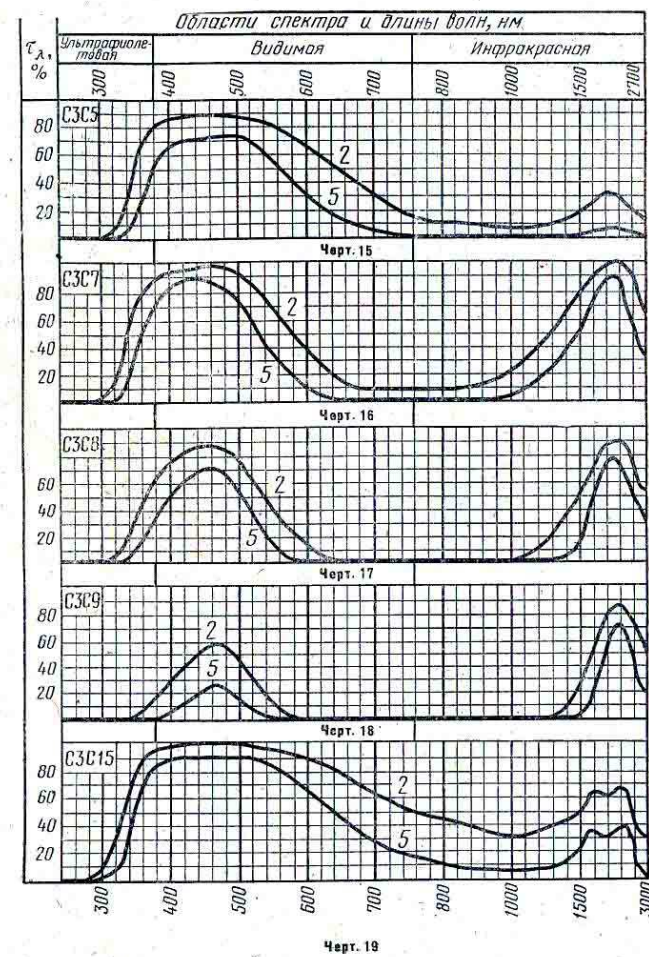
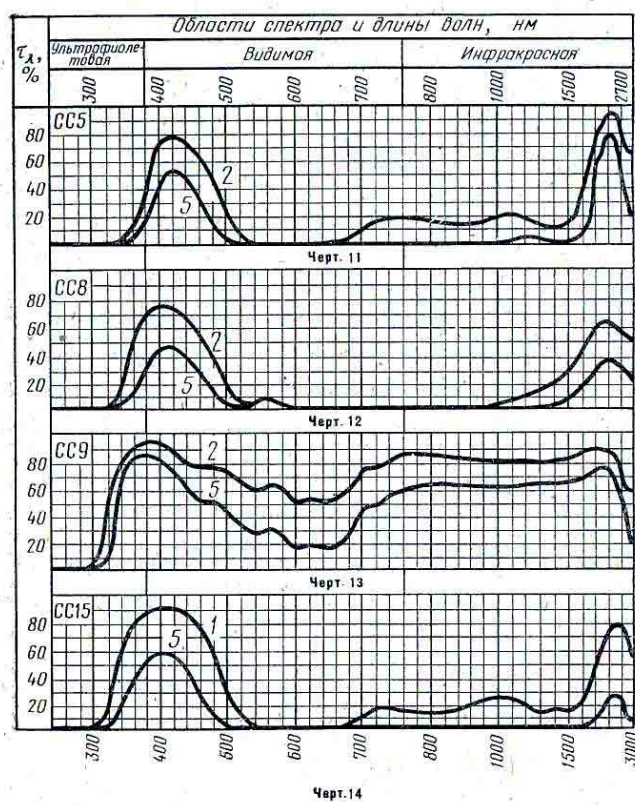
Марка стекла	Оптический коэффициент напряжения $B \cdot 10^{12} \text{ Па}^{-1}$	Марка стекла	Оптический коэффициент напряжения $B \cdot 10^{12} \text{ Па}^{-1}$
УФС1	1,80	ЗС10	3,25
УФС2	1,80	ЗС11	2,80
УФС5	1,80	ЖЗС1	2,50
УФС6	2,90	ЖЗС5	2,50
УФС8	2,80	ЖЗС6	2,50
ФС1	2,60	ЖЗС9	2,60
ФС6	2,90	ЖЗС12	2,65
СС1	2,50	ЖЗС17	2,65
СС2	2,50	ЖЗС18	3,20
СС4	2,50	ЖК3	2,80
СС5	3,10	ЖК4	2,70
СС8	2,50	ЖК10	3,10
СС9	2,50	ЖК11	3,10
СС15	2,90	ЖК12	3,10
С3С5	2,90	ЖК16	3,10
С3С7	2,50	ЖК17	3,10
С3С8	2,50	ЖК18	3,10
С3С9	2,50	ЖК19	3,20
С3С15	2,90	ЖК20	1,75
С3С16	3,10	ОС5	2,20
С3С17	2,60	ОС6	2,25
С3С20	3,65	ОС11	3,50
С3С21	3,40	ОС12	3,50
С3С22	3,20	ОС13	3,50
С3С23	3,20	ОС14	3,50
С3С24	2,70	ОС17	3,40
С3С25	2,70	КС10	3,20
С3С26	1,90	КС11	3,20
С3С27	2,20	КС13	3,20
ЗС1	2,50	КС14	3,20
ЗС3	2,60	КС15	3,20
ЗС7	3,40	КС17	3,20
ЗС8	3,25	КС18	3,20

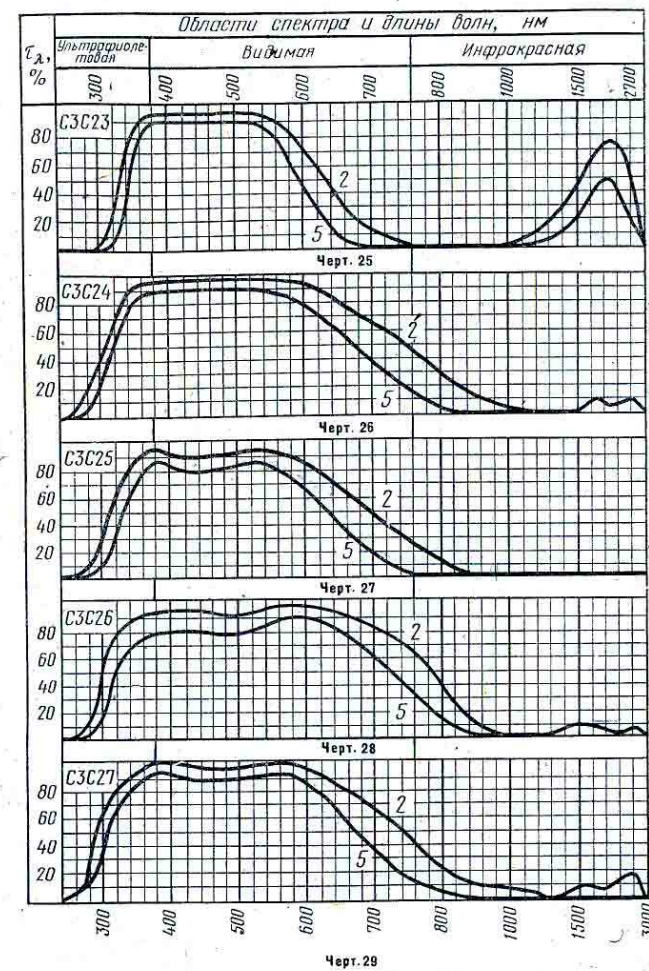
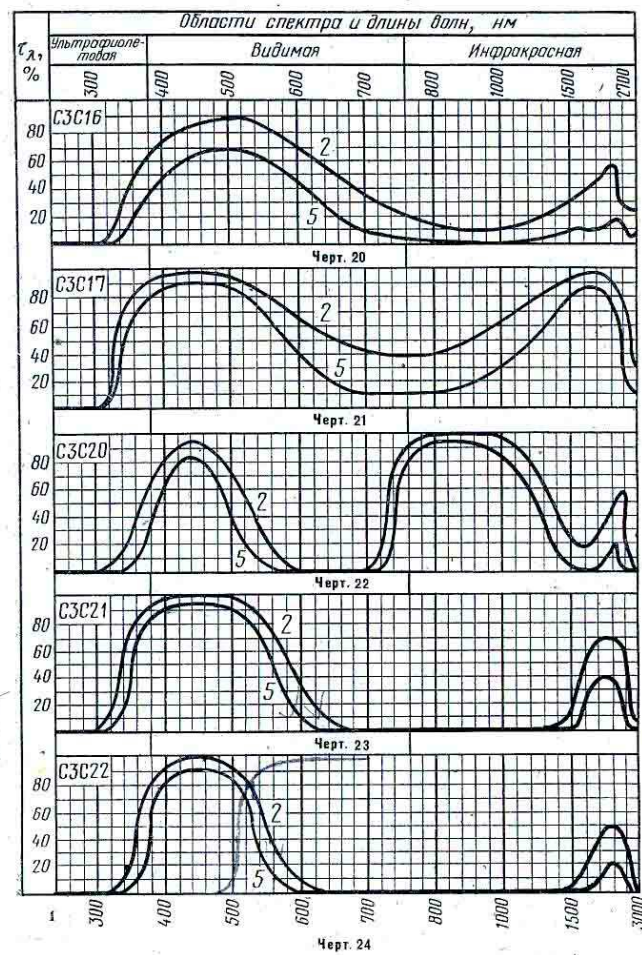
Продолжение табл. 5

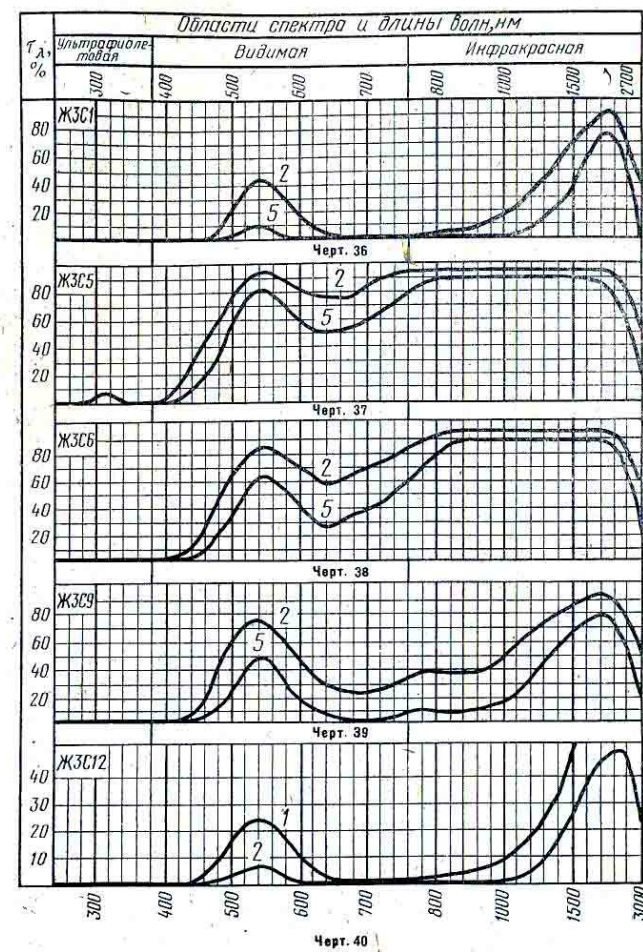
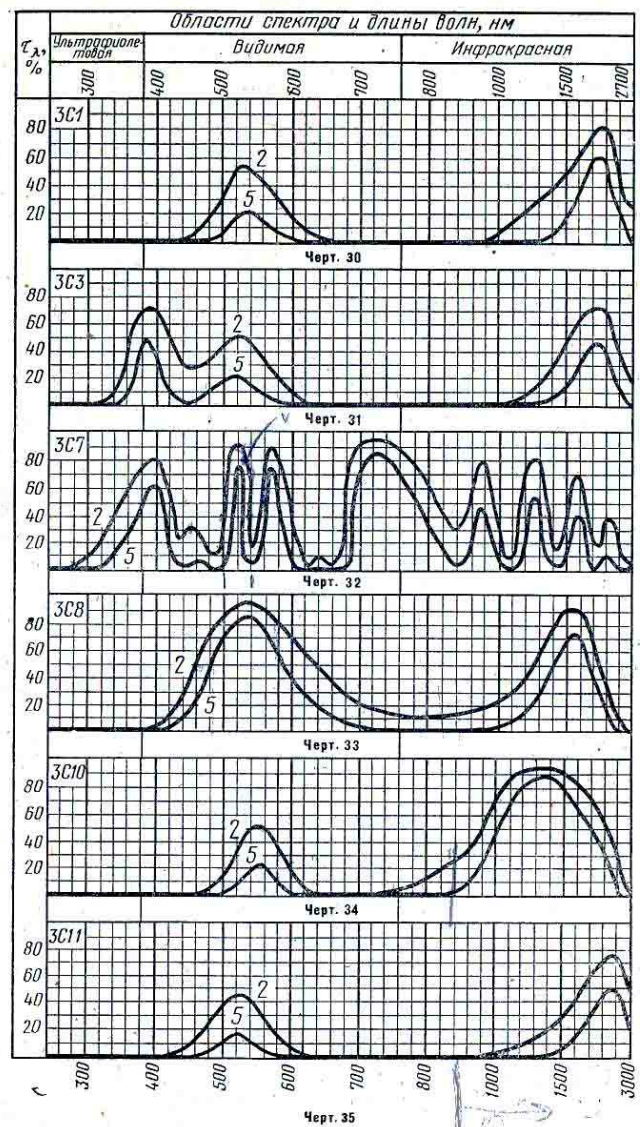
Марка стекла	Оптический коэффициент напряжения $B \cdot 10^{12} \text{ Па}^{-1}$	Марка стекла	Оптический коэффициент напряжения $B \cdot 10^{12} \text{ Па}^{-1}$
ИКС19	3,20	НС7	3,35
ИКС1	2,50	НС8	3,35
ИКС3	2,50	НС9	3,30
ИКС5	3,10	НС10	3,30
ИКС6	3,10	НС11	3,30
ИКС7	3,10	НС12	3,30
ПС5	2,10	НС13	3,30
ПС7	2,60	ТС3	2,60
ПС8	2,75	ТС6	2,50
ПС11	1,80	ТС10	2,60
ПС13	3,20	БС3	3,30
ПС14	4,20	БС4	2,65
НС1	2,50	БС7	2,90
НС2	2,10	БС8	2,30
НС3	2,60	БС12	2,90
НС6	3,35	БС14	1,80

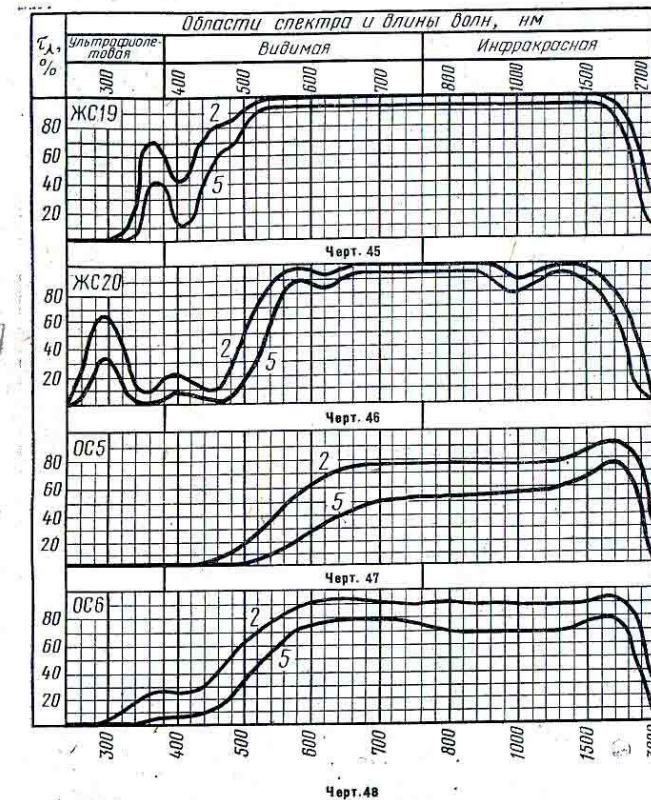
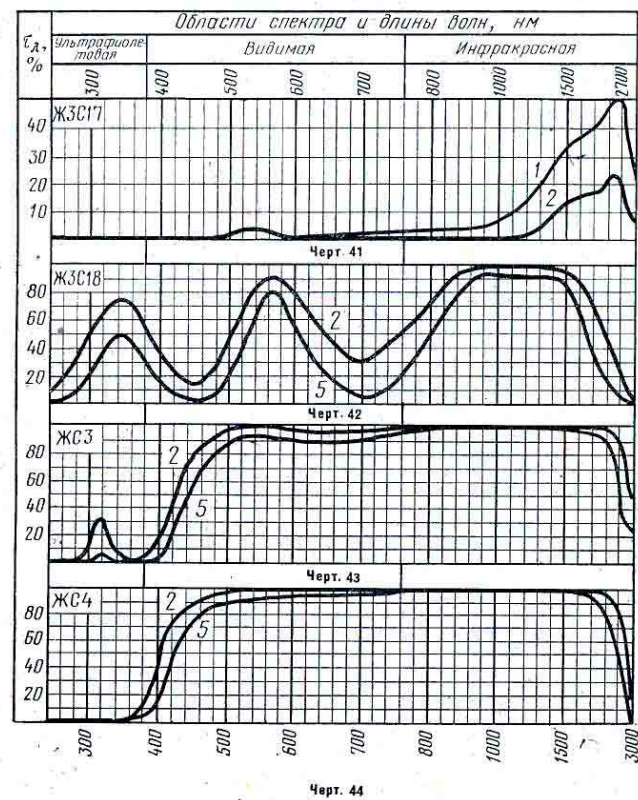
П р и м е ч а н и е. Значение оптического коэффициента напряжения указаны с точностью до  $0,15 \cdot 10^{12} \text{ Па}^{-1}$ .

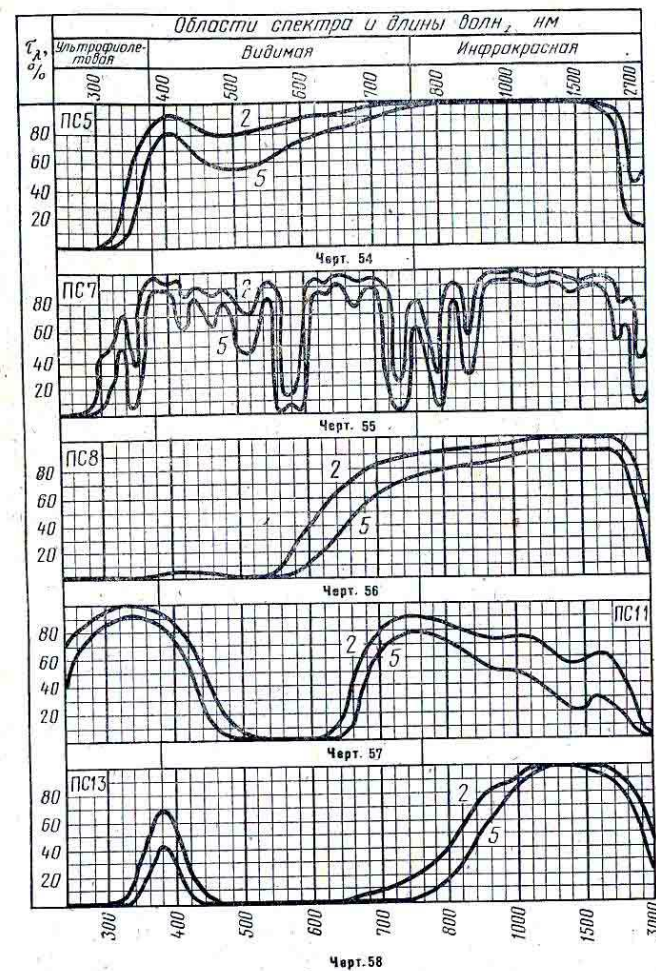
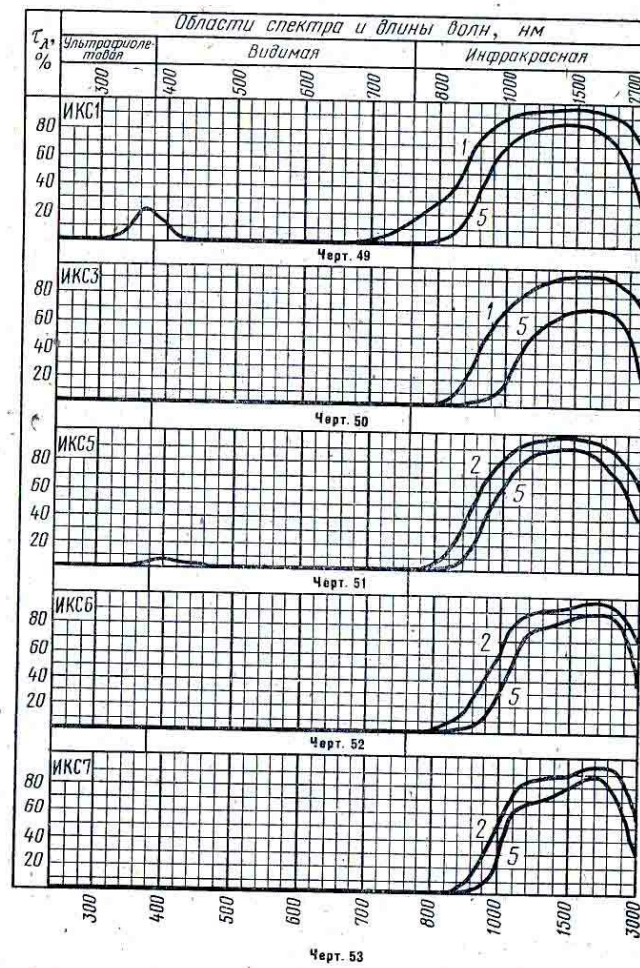


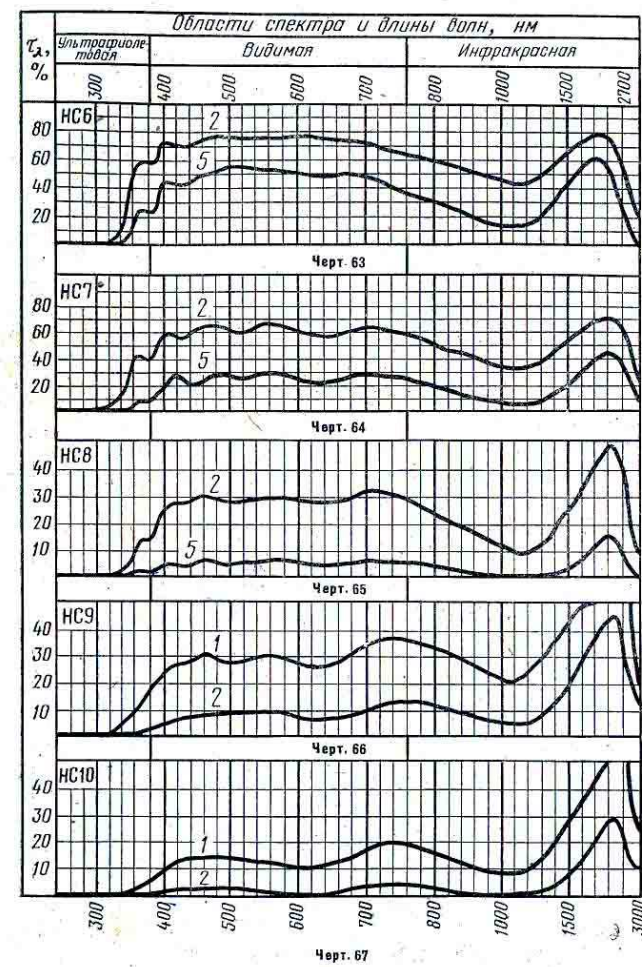
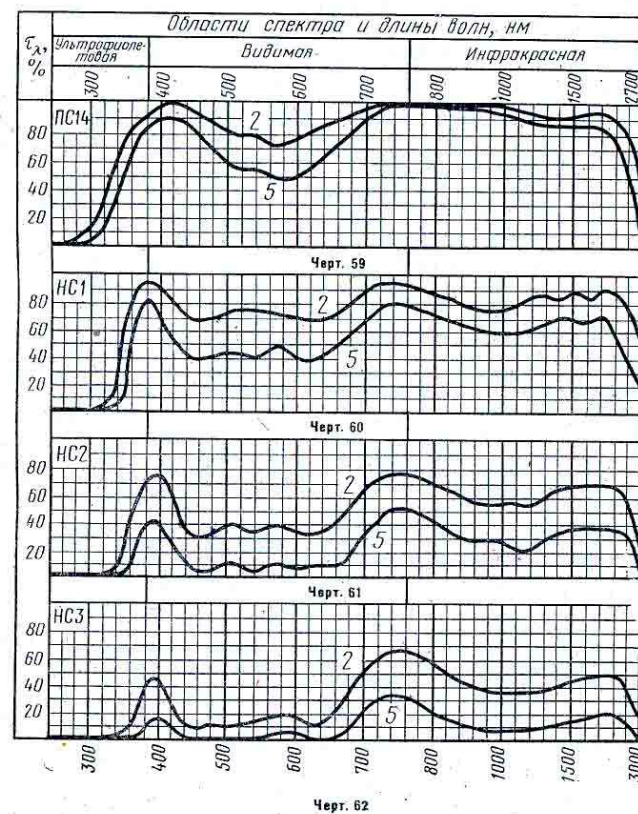


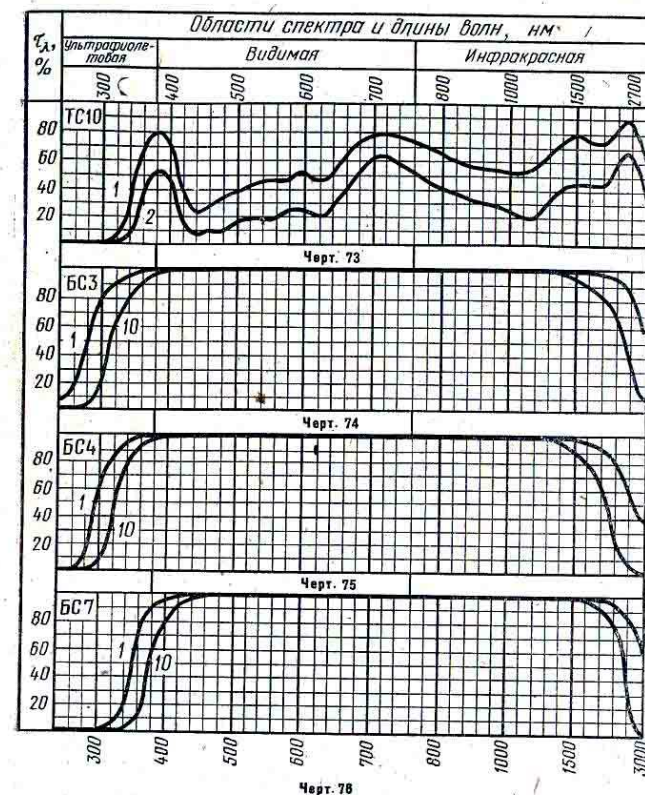
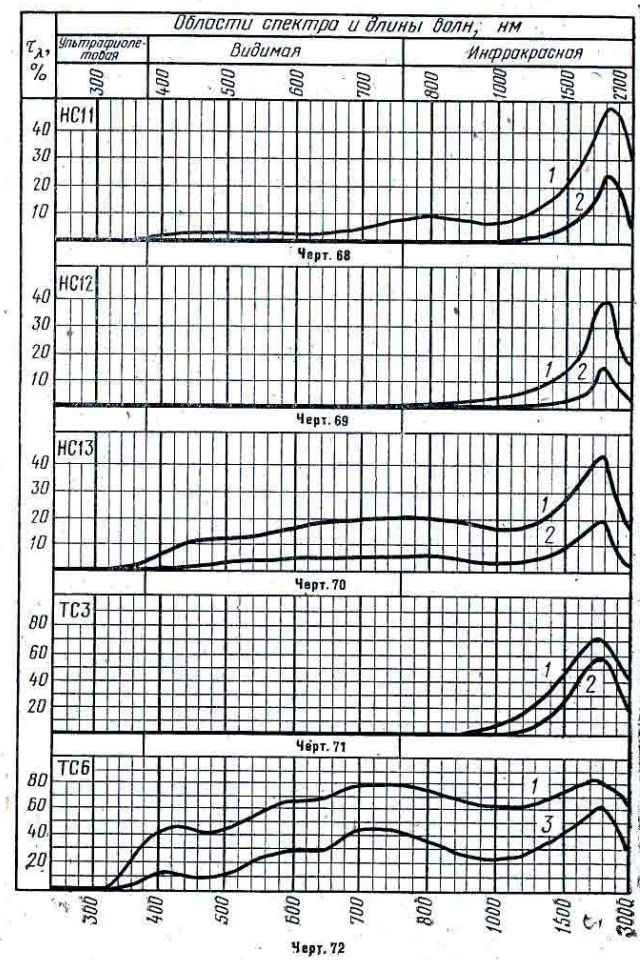


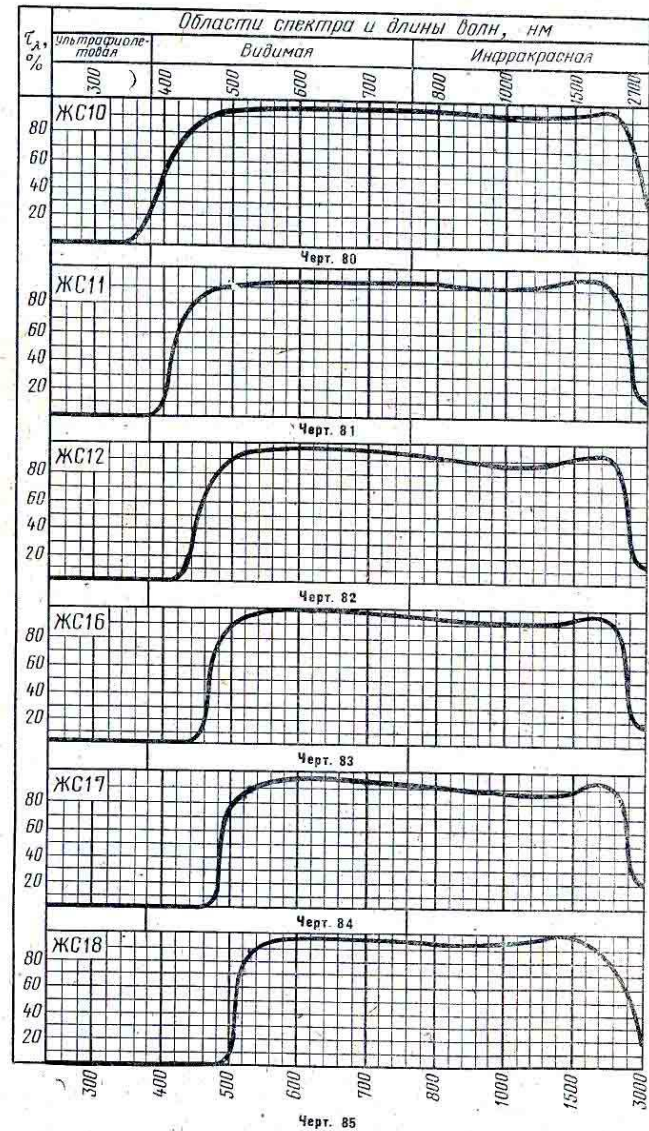
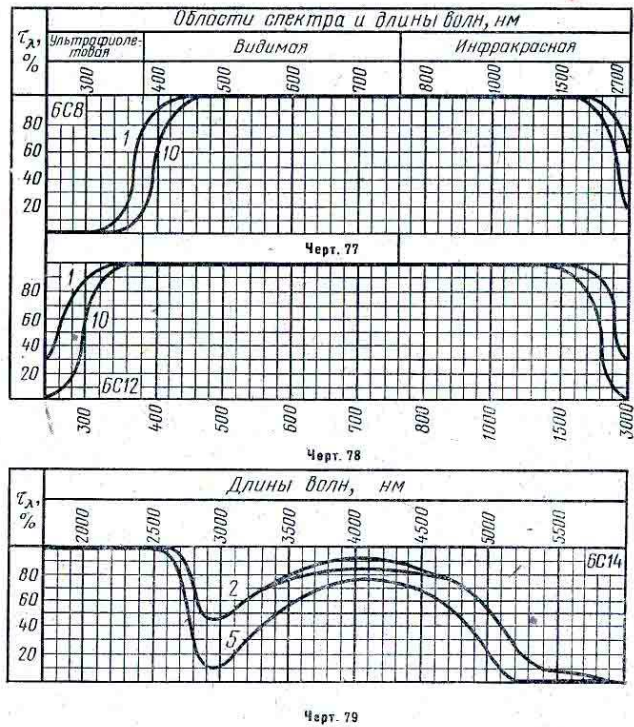


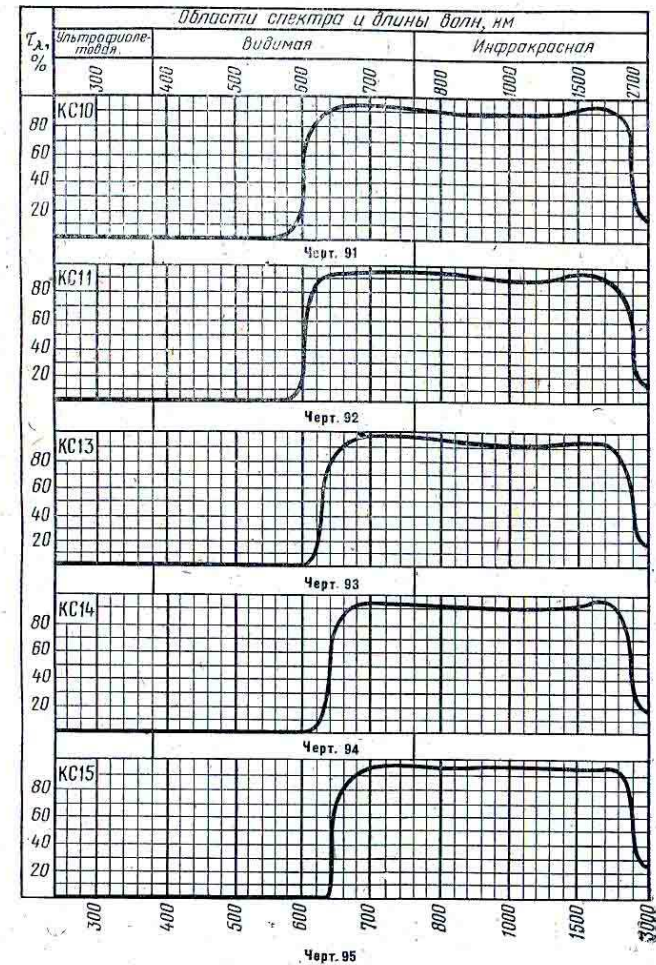
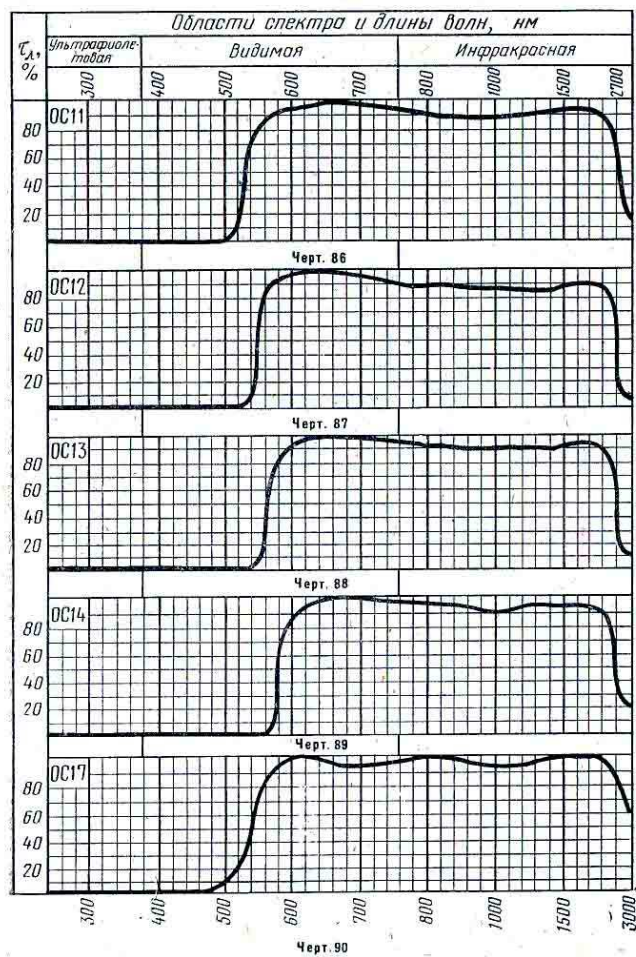


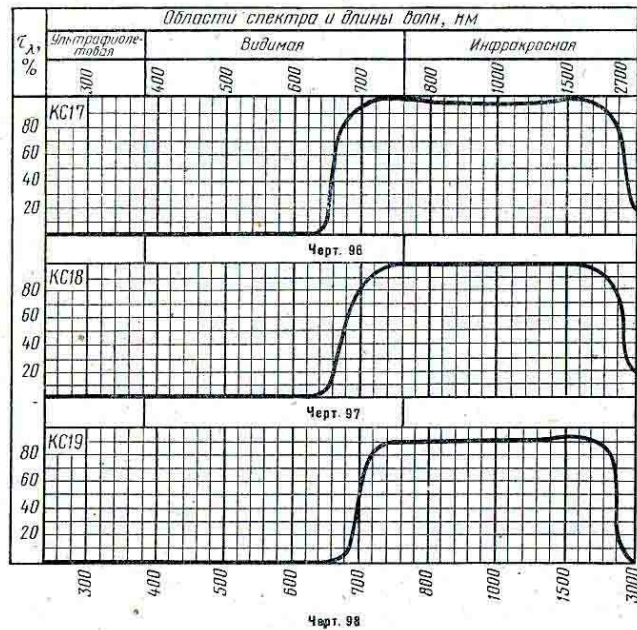












Редактор И. М. Уварова

Технический редактор Н. П. Замолодчикова

Корректор Е. И. Морозова

Сдано в наб. 07.04.81 Подп. в печ. 17.09.81 4,0 п. л. 4,10 уч.-изд. л. Тир. 16000 Цена 20 коп.

Ордена «Знак Почета» Издательство стандартов, 123557, Москва, Новопресненский пер., 3  
Калужская типография стандартов, ул. Московская, 256. Зак. 1100